

Vorlesung zu : Maxwell the GOAT



Vorlesung 1

Historischer Hintergrund

Newton: $F_G = G \frac{m_1 m_2}{r^2}$ \Rightarrow nichts über Herkunft der Kraft
oder Coulomb \Rightarrow Problem der Fernwirkung

$$F_C = k_C \frac{q_1 q_2}{r^2}$$

\Rightarrow Einführung der Felder $F_E = q E$, $F_M = qv \times B$
Coulomb Lorentz

$$\Rightarrow F(r,t) = q [E(r,t) + v(r,t) \times B(r,t)]$$

Wichtig allgemein: Verzögerung der Messungen (Ausbreitung mit c)

Felder sind relativ

$$E(r_0, t) = \frac{q}{4\pi\epsilon_0} \left[\frac{n_r'}{r'^2} + \frac{r'}{c} \frac{d}{dt} \left(\frac{n_r'}{r'^2} \right) + \frac{1}{c} \frac{d^2}{dt^2} n_r' \right]$$

$\rightarrow r' \rightarrow \omega \rightarrow$ nur Beschleunigung spielt eine Rolle

\rightarrow Es braucht beschleunigte Ladung um Strahlung freizusetzen

n_r' : Einheitsvektor von der Ladung zum Messpunkt

Gesetz von Gauss $\int_V E(r,t) \cdot n da = \frac{1}{\epsilon_0} \int_V p(r,t) dV$

$$\nabla \cdot E(r,t) = \frac{1}{\epsilon_0} p(r,t)$$

$$\nabla \times E(r,t) = - \frac{\partial}{\partial t} B(r,t)$$

$$\nabla \times B(r,t) = \mu_0 j(r,t) + \frac{1}{c^2} \frac{\partial}{\partial t} E(r,t)$$

$$\nabla \cdot B(r,t) = 0$$

Induktionsgesetz von Faraday $\int_A E(r,t) ds = - \frac{\partial}{\partial t} \int_V B(r,t) n da$



Gesetz von Ampère $\int_A B(r,t) ds = \mu_0 \int_V j(r,t) n da$

Keine negativen Ladungen $\int_V B(r,t) n da = 0$

$$\nabla \cdot \nabla \Psi = 0$$

$$\nabla \cdot (\nabla \times F) = 0$$

$$\nabla \times (\nabla \times F) = \nabla(\nabla \cdot F) - \nabla^2 F$$

$$\int_V F(r,t) n da = \int_V \nabla \cdot F(r,t) dV$$

$$\int_A F(r,t) ds = \int_A \nabla \times F(r,t) n da$$

$$\int_V g dV = q_{tot}$$

$$\sum_n q_n \delta(r_n) = q_{tot}$$

\hookrightarrow delta Funktion
q nur an spezifischen Orten r_n

Bem $\int_V \sum_n q_n \delta(r_n) dV$
 $= \sum_n q_n \underbrace{\int_V \delta(r_n) dV}_1 = q_{tot}$

Recap Elektrostatik:

$$\nabla \cdot E = \frac{1}{\epsilon_0} p \quad \text{und} \quad \nabla \times E = 0 \quad \rightarrow \text{statisch } B \text{ ändert sich nicht mit der Zeit}$$

→ Einführung eines Potenzials $\phi(r, t)$

$$E(r, t) = -\nabla \phi(r, t)$$

$$-\nabla \times \nabla \phi = 0 \quad \text{per Definition}$$

$$-\nabla \cdot \nabla \phi = \frac{1}{\epsilon_0} p$$

$$\Rightarrow \boxed{\phi(r, t) = \frac{1}{4\pi\epsilon_0} \int \frac{p(r', t)}{|r - r'|} dV'} \quad \text{Poisson Gleichung}$$

LD Beiträge von p → aber skaliert mit $|r - r'|$

(Abstand zum Beobachter, bzw. Messpunkt von ϕ)

Vorlesung 2

Mikroskopische Maxwell-Gleichungen

$$\int_{\partial V} E(r, t) \cdot n da = \frac{1}{\epsilon_0} \int_V p(r, t) dV \quad \int_{\partial A} E(r, t) ds = -\frac{\partial}{\partial t} \int_A B(r, t) n da$$

$$\int_{\partial A} B(r, t) ds = N_0 \int_A j(r, t) n da + \frac{1}{c^2} \frac{\partial}{\partial t} \int_V E(r, t) n da \quad \int_{\partial V} B(r, t) n da = 0$$

LD von Maxwell hinzugefügt neue diff. Form
(Maxwellscher Verschiebungsstrom)

Dipolmoment

$$\text{Poisson: } \phi = \frac{1}{4\pi\epsilon_0} \int dV' \frac{p(r')}{|r - r'|} = \frac{1}{4\pi\epsilon_0} \int dV' \frac{q S(\vec{r}')}{|\vec{r} - \vec{r}'|} = \frac{q}{4\pi\epsilon_0 r}$$

$\vec{d} \downarrow \begin{matrix} \oplus \\ \ominus \end{matrix} \begin{matrix} q \\ -q \end{matrix} \rightarrow \text{Überlagerung der Felder}$

$$\phi = \phi_1 + \phi_2 \quad r = \begin{pmatrix} x \\ y \\ z \end{pmatrix}$$

$$\nabla \times B = \mu_0 j - \epsilon_0 \mu_0 \frac{\partial}{\partial t} E$$

$= \frac{1}{\epsilon_0}$ \Rightarrow Grund für EM Wellen

$$\sqrt{1-x} \approx 1 - \frac{1}{2}x + \dots \quad = \frac{q}{4\pi\epsilon_0} \left[\frac{1}{|\vec{r} + (\frac{0}{d_z})|} - \frac{1}{|\vec{r} - (\frac{q}{d_z})|} \right] = \frac{q}{4\pi\epsilon_0} \left[\frac{1}{\sqrt{x^2 + y^2 + (z+d_z)^2}} - \frac{1}{\sqrt{x^2 + y^2 + (z-d_z)^2}} \right]$$

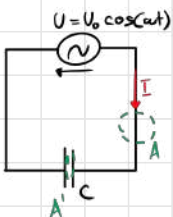
$$\frac{1}{1-x} \approx 1 + x + x^2 + \dots$$

$$\approx \frac{q}{4\pi\epsilon_0} \left[\frac{1}{r\sqrt{1+\frac{d_z}{r^2}}} - \frac{1}{r\sqrt{1-\frac{d_z}{r^2}}} \right] \approx \frac{q}{4\pi\epsilon_0 r} \left[\frac{1}{1 + \frac{1}{2}\left(\frac{d_z}{r^2}\right)} - \frac{1}{1 - \frac{1}{2}\left(\frac{d_z}{r^2}\right)} \right]$$

$$\frac{z}{r} = \cos\theta$$

$$(\text{Polarkoordinaten}) \approx \frac{q}{4\pi\epsilon_0 r} \left[1 + \frac{1}{2}\left(\frac{d_z}{r^2}\right) - 1 + \frac{1}{2}\left(\frac{d_z}{r^2}\right) \right] = \frac{dq}{4\pi\epsilon_0 r^2} \quad \frac{z}{r^2} = \frac{p \cos\theta}{4\pi\epsilon_0 r^2}$$

Beispiel



C ist leer

→ zunächst fließt mal ein Strom $I = \dot{Q}$

→ muss ein Magnetfeld geben

Ausserhalb des Kondensators

$$\int_{\partial A} \vec{B} \cdot d\vec{s} = \mu_0 \int_A \vec{j} \cdot d\vec{A} = \underline{\underline{\mu_0 I}}$$

$$B(\phi) 2\pi r \Rightarrow B(\phi) = \frac{\mu_0 I}{2\pi r}$$

$$\boxed{B = B^1 = \frac{\mu_0 I}{2\pi r}}$$

↳ Magnetfeld räumlich konstant

Innerhalb des " "

→ fließt kein Strom $j = 0$

$$B^1(\phi) 2\pi r = \epsilon_0 \mu_0 \frac{\partial}{\partial t} \int_A \vec{E} \cdot d\vec{A}$$

$$= \epsilon_0 \mu_0 \frac{\partial}{\partial t} A \cdot E \\ = \frac{\epsilon_0 \mu_0 A}{d} \frac{\partial}{\partial t} U$$

$$= \mu_0 C \frac{\partial}{\partial t} U = \mu_0 \dot{Q} = \underline{\underline{\mu_0 I}}$$

⇒ Divergenz nehmen

$$\nabla \cdot \nabla \times \vec{B} = 0 = \mu_0 \nabla \cdot \vec{j} + \epsilon_0 \mu_0 \partial_t \nabla \cdot \vec{E}$$

$$\boxed{0 = \nabla \cdot \vec{j} + \partial_t \rho} \Rightarrow \text{Kontinuitätsgleichung für die Ladung}$$

Integralform

$$\int_V \nabla \cdot j \, dV + \partial_t \int_V \rho \, dV = 0$$

Fluss der Ladung aus V heraus
= Änderung der Ladung innerhalb von V

$$\boxed{\int_V j \cdot n \, da = - \frac{\partial}{\partial t} \int_V \rho \, dV}$$

⇒ Kirchhoffsche Regel falsch
bzw. nur anwendbar für spezifische Schaltungen

Makroskopische Maxwell-Gleichungen

⇒ mikroskopische Gleichungen in der Realität nichts anwendbar

z.B. Polarisation ändert die Ladungsdichte: $\rho = \rho_0 + \rho_{pol}$

$$\int_{\partial V} E \cdot n \, da = \frac{1}{\epsilon_0} \int_V \rho \, dV \quad \underline{\text{und}} \quad \begin{matrix} \rho_0 + \rho_{pol} \\ \end{matrix}$$

keine Kontrolle darüber

$$\boxed{\int_{\partial V} P \cdot n \, da = - \int_V \rho_{pol} \, dV} \quad \Rightarrow \nabla \cdot P = - \rho_{pol}$$

neues Feld definiert

$$\nabla \cdot \vec{D} = \rho_0$$

mit

$$\boxed{D = \epsilon_0 E + P}$$

folgt also

$$\int_V D \cdot da = \int_V p_0 dV$$

und

$$j_{\text{pol}} = \frac{\partial}{\partial t} P$$

\hookrightarrow Polarisationsstrom

Für das H-Feld

$$j = j_0 + j_{\text{pol}} + j_{\text{mag}} \Rightarrow$$

$$B = \mu_0 [H + M]$$

$$\int_{\partial A} M \cdot ds = \int_V j_{\text{mag}} \cdot da$$

$$M = f(B)$$

\hookrightarrow Magnetisierung
(Folge von B)

$$\int_{\partial A} \underbrace{\left[\frac{1}{\mu_0} B - M \right]}_{H \rightarrow \text{Magnetfeld}} \cdot ds = \int_V \left[j_0 + \frac{\partial}{\partial t} D \right] \cdot da$$

$$\nabla \times H = \frac{\partial}{\partial t} D + j_0$$

\hookrightarrow Magnetfeld

$$\int_{\partial A} H \cdot ds = \int_V \left[\frac{\partial}{\partial t} D + j_0 \right] \cdot da$$

\Rightarrow die anderen zwei Gleichungen bleiben unverändert

Ziel war Quellen p_0, j_0 zu behalten

Vorlesung 3

$$H \text{ in } \left[\frac{A}{m} \right] \Rightarrow HE \text{ in } \frac{AV}{m^2} = \frac{W}{m^2} \text{ (eine Intensität)}$$

$$E \text{ in } \left[\frac{V}{m} \right]$$

P und M hängen vom Material und der Intensität der Felder ab

mit $\nabla \cdot \nabla \times H$ kriegen wir immer noch $\nabla j_0 + \frac{\partial}{\partial t} p_0 = 0$ (Kontinuitätsgleichung)

Wellengleichung

$$\nabla \times E = - \frac{\partial}{\partial t} B \Rightarrow \nabla \times \nabla \times \vec{E} = - \frac{\partial}{\partial t} \nabla \times \vec{B} = - \mu_0 \frac{\partial}{\partial t} \left[\nabla \times H + \nabla \times \vec{P} \right]$$

$$\Rightarrow \nabla \times \nabla \times \vec{E} + \frac{1}{c^2} \frac{\partial^2}{\partial t^2} \vec{E} = - \mu_0 \frac{\partial}{\partial t} \left[j_0 + \frac{\partial}{\partial t} P + \nabla \times M \right]$$

$$\vec{j}_0 + \frac{\partial}{\partial t} \vec{D}$$

$$\mathbb{L} \vec{f} = \vec{g}$$

$$E_0 E + P \leftrightarrow$$

$$\begin{aligned} \text{I} \vec{F} = \vec{0} &\Rightarrow \vec{f}_{\text{hom}} = \sum_n a_n f_{\text{hom}}^{(n)} \\ \text{II} \vec{F} - \vec{g} &\Rightarrow \vec{f}_{\text{par}} \end{aligned} \quad \left\{ \begin{array}{l} \vec{f} = \vec{f}_{\text{hom}} + \vec{f}_{\text{par}} \end{array} \right.$$

Äquivalent für das Magnetfeld:

$$\nabla \times \nabla \times H + \frac{1}{c^2} \frac{\partial^2 H}{\partial t^2} = \nabla \times j_0 + \nabla \times \frac{\partial P}{\partial t} - \frac{1}{c^2} \frac{\partial^2 M}{\partial t^2}$$

Im freien Raum: keine Quellen, keine Materie
 \rightarrow nur homogene Lösung

$$\nabla \times \nabla \times \vec{E} + \frac{1}{c^2} \frac{\partial^2}{\partial t^2} \vec{E} = \vec{0} \quad \text{und} \quad \nabla \times \nabla \times H + \frac{1}{c^2} \frac{\partial^2}{\partial t^2} H = \vec{0}$$

$$\nabla \times \nabla \times E = \underbrace{\nabla (\nabla \cdot E)}_{=0} - \nabla^2 E$$

Gaußsche Gesetz

$$\nabla^2 \vec{E} - \frac{1}{c^2} \frac{\partial^2}{\partial t^2} \vec{E} = \vec{0} \quad \text{und} \quad \nabla^2 H - \frac{1}{c^2} \frac{\partial^2}{\partial t^2} H = \vec{0}$$

\Rightarrow Wellengleichung im freien Raum

und für statische Felder $\nabla^2 \vec{E} = \vec{0}$ und $\nabla^2 \vec{H} = \vec{0}$
 (Poisson Gleichung)

Lösungsansätze:

in einer Dimension $\frac{\partial^2}{\partial x^2} E - \frac{1}{c^2} \frac{\partial^2}{\partial t^2} E = 0$ (Physik I)

\Rightarrow d'Alembert: $E(x,t) = E(x - ct)$

\hookrightarrow bewegt sich mit Geschwindigkeit c

Vorlesung 4

Separationsansatz 1: $E(r, t) = \operatorname{Re} \left\{ \vec{E}(r) T(t) \right\}$

Hilfsgrösse: - Komplex
- keine Funktion der Zeit

$$T(t) \nabla^2 \vec{E}(r) - \frac{1}{c^2} \left(\frac{\partial^2}{\partial t^2} T(t) \right) \vec{E}(r) = 0 \quad | \cdot T^{-1} \cdot \vec{E}^{-1} \cdot (-c^2)$$

$$\underbrace{T^{-1} \frac{\partial^2}{\partial t^2} T}_{:= -\omega^2} - c^2 \underbrace{\vec{E}^{-1} \nabla^2 \vec{E}}_{:= -\omega^2} = 0$$

\Rightarrow Terme müssen konstant sein, damit die Gleichung erfüllt wird.

$$T^{-1} \frac{\partial^2}{\partial t^2} T = \omega^2$$

$$c^2 \vec{E}^{-1} \nabla^2 \vec{E} = \omega^2$$

$$\Rightarrow \boxed{\frac{\partial^2}{\partial t^2} T + \omega^2 T = 0}$$

$$\boxed{\nabla^2 \vec{E} + \frac{\omega^2}{c^2} \vec{E} = 0}$$

\hookrightarrow Helmholtz-Gleichung

Exponentialansatz:

$$T = c_1 e^{i\omega t} \Rightarrow \vec{E}(r, t) = \operatorname{Re} \left\{ \vec{E}(r) e^{i\omega t} \right\}$$

Separationsansatz 2:

$$\text{Sei } E(r) = E_0 X(x) Y(y) Z(z) \text{ und } \vec{r} = \begin{pmatrix} x \\ y \\ z \end{pmatrix}$$

$$\frac{\partial^2}{\partial x^2} X + \frac{\partial^2}{\partial y^2} Y + \frac{\partial^2}{\partial z^2} Z + \frac{\omega^2}{c^2} XYZ = 0$$

$| \cdot X^{-1} \cdot Y^{-1} \cdot Z^{-1}$

$$\underbrace{X^{-1} \frac{\partial^2}{\partial x^2} X}_{-k_x^2} + \underbrace{Y^{-1} \frac{\partial^2}{\partial y^2} Y}_{-k_y^2} + \underbrace{Z^{-1} \frac{\partial^2}{\partial z^2} Z}_{-k_z^2} + \frac{\omega^2}{c^2} XYZ = 0$$

$$\Rightarrow \frac{\partial^2}{\partial x^2} X + k_x^2 X = 0$$

$$\text{mit } k = \sqrt{k_x^2 + k_y^2 + k_z^2}$$

\hookrightarrow Dispersionstheorie

$$\frac{\partial^2}{\partial y^2} Y + k_y^2 Y = 0$$

$$\frac{\partial^2}{\partial z^2} Z + k_z^2 Z = 0$$

\hookrightarrow Ort und Zeit verknüpft ($k = \frac{\omega^2}{c^2}$)

\Rightarrow Exponentialansatz

$$X = e^{ik_x x}, \quad Y = e^{ik_y y}, \quad Z = e^{ik_z z}$$

(Vor-faktoren folgen später)

$$XYZ = e^{i(k_x x + k_y y + k_z z)} = e^{i\vec{k} \cdot \vec{r}}$$

$$\vec{k} = \begin{pmatrix} k_x \\ k_y \\ k_z \end{pmatrix}$$

$$\vec{k} \cdot \vec{k} := \frac{\omega^2}{c^2}$$

WICHTIG: Es gibt also nicht nur die harmonische Lösung
Auch exponentieller Zerfall!

$\nabla \cdot E = 0$ (Gauss)

$$\Rightarrow 0 = \operatorname{Re} \left\{ \nabla \cdot \vec{E}_0 e^{i\vec{k} \cdot \vec{r} - i\omega t} \right\} = \operatorname{Re} \left\{ \vec{E}_{0x} \frac{\partial}{\partial x} e^{i(\vec{k} \cdot \vec{r} - \omega t)} + \vec{E}_{0y} \frac{\partial}{\partial y} e^{i(\vec{k} \cdot \vec{r} - \omega t)} + \vec{E}_{0z} \frac{\partial}{\partial z} e^{i(\vec{k} \cdot \vec{r} - \omega t)} \right\}$$

$$= \operatorname{Re} \left\{ [\vec{E}_{0x} k_x + \vec{E}_{0y} k_y + \vec{E}_{0z} k_z] e^{i(\vec{k} \cdot \vec{r} - \omega t)} \right\}$$

$$\Rightarrow \vec{E}_{0x} k_x + \vec{E}_{0y} k_y + \vec{E}_{0z} k_z = 0$$

$$\vec{E}_0 \vec{k} = 0$$

Transversalitätsbedingung
elektrische Feld muss
senkrecht auf k stehen

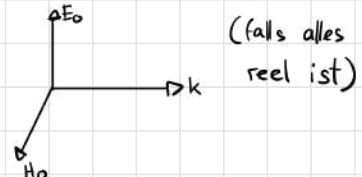
Induktionsgesetz

Magnetfeld folgt direkt

$$\nabla \times \underline{E} = -\frac{\partial}{\partial t} H \mu_0$$

$$\Rightarrow \nabla \times \underline{E} = i\omega \mu_0 \underline{H} \Rightarrow \underline{H}_0 = \frac{1}{\omega \mu_0} \underline{k} \times \underline{E}_0$$

$\rightarrow H$ steht senkrecht
auf k und E



$$\Rightarrow E(r,t) = \operatorname{Re} \left\{ \int_k \int_{\omega} E_0(k, \omega) e^{i\vec{k} \cdot \vec{r} - i\omega t} d\omega d^3k \right\}$$

\rightarrow aber $\vec{k} \cdot \vec{k} = \frac{\omega^2}{c^2}$ (unendlich viele \vec{k} für ein ω)

Bem. $E(r,t)$ ist die Fouriertransformierte von $E_0(k, \omega)$

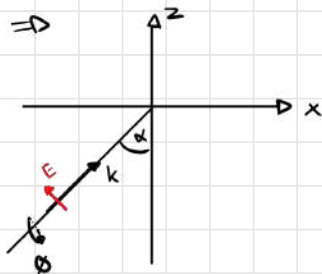
Ebene Welle

k_x, k_y, k_z reell

$$\text{Sei } E_0 = |E_0| (1, 0, 0)^t$$

→ linear polarisierte Welle

$z \neq 0$ damit transvers



↳ k liegt in der x - z -Ebene und ist definiert durch den Einfallswinkel α

$$k = \begin{pmatrix} k \sin \alpha \\ 0 \\ k \cos \alpha \end{pmatrix} \rightarrow \vec{E}(r) = \vec{E}_0 e^{ik(x \sin \alpha + z \cos \alpha)}$$

$$\text{Bedingung } k \cdot E_0 = 0 : \sin \alpha E_{0x} + \cos \alpha E_{0z} = 0$$

$\overset{\text{!}}{\cos \alpha E' E_0}$ $\overset{\text{!}}{-\sin \alpha E' E_0}$

$$\text{Normierung: } E_0 = \sqrt{E_{0x}^2 + E_{0y}^2 + E_{0z}^2}$$

$$\text{bzw: } \sqrt{\left(\frac{E_{0x}}{E_0}\right)^2 + \left(\frac{E_{0y}}{E_0}\right)^2 + \left(\frac{E_{0z}}{E_0}\right)^2} = 1$$

$$\vec{E}_0 = E_0 \begin{pmatrix} \cos \alpha E' \\ E'_y \\ -\sin \alpha E' \end{pmatrix}$$

$| \cdot | = 1$

$$\cos^2 \alpha E'^2 + E'_y^2 + \sin^2 \alpha E'^2$$

$$= E'^2 + E'_y^2 \quad \text{mit } \phi \text{ (wo)}$$

$$\Leftrightarrow = \cos^2 \phi + \sin^2 \phi \quad \text{das E-Feld zeigt}$$

$$= 1$$

$$\text{mit } E' = \cos \phi \text{ und } E'_y = \sin \phi$$

→ $\phi = 0$: p-polarisation

↳ parallel zur Einfallsebene

$\phi = \frac{\pi}{2}$: s-polarisation

↳ senkrecht zur Einfallsebene

$$\text{Sei } E_0 = |E_0| (1, i, 0)^t$$

→ Zirkular polarisierte Welle

→ Elliptisch polarisierte Welle mit anderen Faktoren

$$\boxed{\vec{E}(r) = E_0 \begin{pmatrix} \cos \phi \cos \alpha \\ \sin \phi \\ -\cos \phi \sin \alpha \end{pmatrix} e^{ik(x \sin \alpha + z \cos \alpha)}}$$

Evanescente Wellen

$$\text{Dispersionsrelation: } k \cdot k = \frac{\omega^2}{c^2} \rightarrow k_z = \sqrt{\omega/c^2 - k_x^2 - k_y^2}$$

→ Ebene Welle mit kleine k_x, k_y

→ Evanescante Welle mit grosse k_x und k_y

$$k_z = ik_z' \rightarrow e^{ik_z z} = e^{-k_z z} \text{ ↗ exponentielles ab/ansteigen}$$

\uparrow_{real}

Cham ja aber nicht unendlich viel Energie
besitzen $k \sim E \rightarrow$ außer Raum ist

$$\vec{E}(r,t) = \text{Re} \left\{ \vec{E}_0 e^{i(k_x x + k_y y - \omega t)} \right\} e^{\mp k_z' z} \text{ (begrenzt)}$$

Intuition: ω Kreisfrequenz

k : Schwingung im Raum

↪ grosse $k_x, k_y \rightarrow$ grosse Schwingung in der Ebene → Welle klingt

→ Raum ist ein Tiefpassfilter exponentiel ab

Jede Superposition von ω und k löst die Wellengleichung:

$$E(r,t) = \text{Re} \left\{ \int_k \int_{\omega} \vec{E}_0(k, \omega) e^{i\vec{k} \cdot \vec{r} - i\omega t} d\omega d^3k \right\} \quad \vec{k} \cdot \vec{k} = \frac{\omega^2}{c^2}, \vec{k} \cdot \vec{E}_0 = 0$$

Überlagerung in Zeit:

→ $\text{Re} \{ \}$ kann weggelassen werden falls $E_0(k, \omega) = E_0^*(-k, -\omega)$

$$E(r,t) = \int_{\omega} \underbrace{\left[\int_k \vec{E}_0(k, \omega) e^{i\vec{k} \cdot \vec{r}} dk \right]}_{= \hat{E}(r, \omega)} e^{-i\omega t} d\omega$$

$$= \int_{\omega} \hat{E}(r, \omega) e^{-i\omega t} d\omega$$

\downarrow

$E^*(r, -\omega)$

Spektraldarstellung

$$E(r,t) = \int_{-\infty}^{\infty} \hat{E}(r,\omega) e^{i\omega t} d\omega$$

neue Maxwell-Gleichung:

→ Fourier einsetzen

$$\nabla \cdot \hat{D}(r,\omega) = \rho_0(r,\omega)$$

$$\nabla \times \hat{E}(r,\omega) = i\omega \hat{B}(r,\omega)$$

$$\nabla \times \hat{H}(r,\omega) = -i\omega \hat{D}(r,\omega) + \hat{j}_0(r,\omega)$$

$$\nabla \cdot \hat{B}(r,\omega) = 0$$

→ im zeitlichen Fouriersraum

Monochromatische Felder

$$\int_{-\infty}^{\infty} \hat{E}(r,\omega) e^{i\omega t} d\omega = \frac{1}{2} \left[\hat{E} e^{i\omega t} + \underbrace{\hat{E}^* e^{i\omega t}}_{(\hat{E} e^{-i\omega t})^*} \right] = E(r) e^{i\omega t}$$

↳ nur eine
Kreisfrequenz

$$\hat{E}(r,\omega) = \frac{1}{2} [\hat{E}(r) \delta(\omega - \omega_0) + \hat{E}^*(r) \delta(\omega + \omega_0)]$$

Stehende Wellen

vorwärts- und rückwärtslaufende ebene Wellen:

$$E(r,t) = \operatorname{Re} \left\{ \vec{E}_1 e^{i\vec{k}_1 \cdot \vec{r}} + \vec{E}_2 e^{i\vec{k}_2 \cdot \vec{r}} \right\} e^{-i\omega t}$$

Seien E_1 und E_2 : monochromatisch mit $\omega_1 = \omega_2 := \omega$

linear polarisiert $\vec{E}_1 = \vec{E}_2 = |E_0| (0, 1, 0)^t$

gegenläufig $K_1 = k_0 (1, 0, 0)^t = -k_2$

$$\operatorname{Re} \left[e^{ik_0x} + e^{i(-k_0)x} \right] e^{-i\omega t}$$

$$= \operatorname{Re} e^{i(k_0x - \omega t)} + e^{i(-k_0x - \omega t)}$$

$$= \cos(k_0x - \omega t) + \cos(-k_0x - \omega t)$$

$$= 2 \cos(k_0x) \cos(\omega t)$$

$$E(r,t) = E_0 (0, 1, 0)^t \operatorname{Re} \left\{ [e^{ik_0x} + e^{i(-k_0)x}] \right\} e^{-i\omega t}$$

$$E(x,t) = 2 E_0 \cos(k_0x) \cos(\omega t)$$

Vorlesung 5

Wellenpakete

$k \propto \omega$

$$E(z,t) = \int_k \int_{\omega} \vec{E}_0(k, \omega) e^{ikz - i\omega t} d\omega dk \rightarrow \text{eine dim } \Rightarrow \omega = kc$$

$$= \int_k \underbrace{\left[\int_{\omega} \vec{E}_0(k, \omega) d\omega \right]}_{\hat{E}_0 e^{-(k-k_0)^2/2\sigma^2}} e^{i(kz - kct)} dk$$

$$= \hat{E}_0 \int_{-\infty}^{\infty} \exp\left(-\frac{1}{2\sigma^2} k^2 + \left[\frac{k_0}{\sigma^2} + iz - ict\right]k - \frac{k_0^2}{2\sigma^2}\right) dk = \hat{E}_0$$

$$\int_{-\infty}^{\infty} \exp(ax^2 + bx + c) dx = \int_{-\infty}^{\infty} \exp\left(-a(x^2 - \frac{b}{a}x - \frac{c}{a})\right) dx = \int_{-\infty}^{\infty} \exp\left(-a\left(x^2 - \frac{b}{a}x + \left(\frac{b}{2a}\right)^2 - \left(\frac{b}{2a}\right)^2 - \frac{c}{a}\right)\right) dx$$

$$= \int_{-\infty}^{\infty} \exp\left(-a\left((x - \frac{b}{2a})^2 - \left(\frac{b}{2a}\right)^2 - \frac{c}{a}\right)\right) = \exp\left(\frac{b^2}{4a} + c\right) \int_{-\infty}^{\infty} \exp(-(ra(x - (\frac{b}{2a}))^2) dx$$

$$= \exp\left(\frac{b^2}{4a} + c\right) \frac{1}{\sqrt{a}} \int_{-\infty}^{\infty} \exp(-y^2) dy$$

\rightarrow Substitution
 $y = \sqrt{a}(x - (\frac{b}{2a}))$

$$\frac{dy}{\sqrt{a}} = dx$$

$$\Rightarrow \text{im oberen Fall } a = \frac{1}{2\sigma^2}, b = \frac{k_0}{\sigma^2} + i(z-ct), c = -\frac{k_0^2}{2\sigma^2}$$

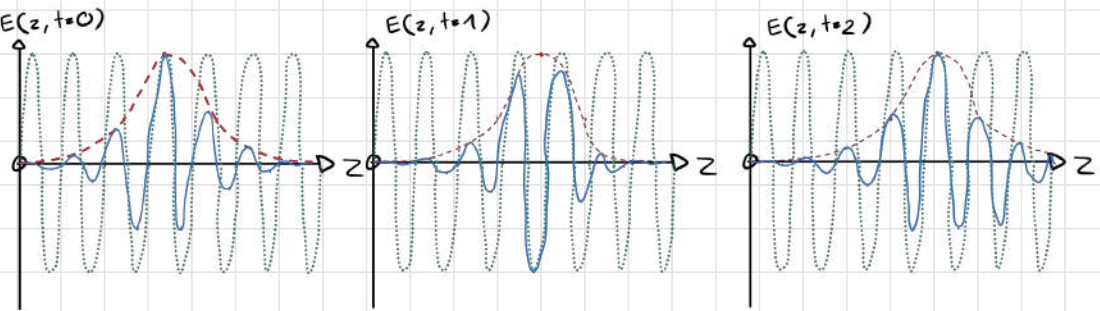
$$\exp\left(\frac{\sigma^2}{2} \left(\underbrace{\left(\frac{k_0}{\sigma^2} + i(z-ct)\right)^2}_{\frac{k_0^2}{\sigma^4} + 2\frac{k_0}{\sigma^2}(z-ct)} - \frac{k_0^2}{2\sigma^2} \right) \sqrt{2\pi}\sigma\right) = \exp\left(i k_0(z-ct) - \frac{1}{2} \sigma^2(z-ct)^2\right)$$

$$\Rightarrow E(z,t) = \hat{E}_0 \sqrt{2\pi} \sigma e^{ik_0(z-ct)} e^{-\frac{1}{2} \sigma^2(z-ct)^2}$$

Ebene Welle

Gaußsche Kurve

\hookrightarrow wurde gewählt zum integrieren
 \hookrightarrow es gibt auch andere Funktionen



für später: im Vakuum \rightarrow beide e-Funktionen bewegen sich mit c

in dispersive Materialien sind sie aber nicht gleich

\hookrightarrow Geschwindigkeit

von der Frequenz
abhängig

Gruppengeschwindigkeit \rightarrow Envelope $v_g = \frac{\partial \omega}{\partial k}$

Phasengeschwindigkeit \rightarrow Träger $v_{ph} = \frac{\omega}{k}$

Intensität

$$I(r) = |\langle S(r, t) \rangle| \rightarrow \text{Fernfeld: } I(r) = \sqrt{\frac{\epsilon_0}{\mu_0}} \langle E \cdot E \rangle \quad \xrightarrow{\text{zammittelung}}$$

Arbeit pro Zeiteinheit die an einer Ladung q verrichtet wird.

$$\frac{dW}{dt} = \vec{F} \cdot \vec{v} = q \vec{v} \cdot \vec{E} + q \underbrace{\vec{v}(\vec{v} \times \vec{B})}_{=\vec{v} \times \vec{v} \cdot \vec{B}} - \int \vec{j} \cdot \vec{E} dV = \sigma \int \vec{E} \cdot \vec{E} dV$$

$$\hookrightarrow q \vec{E} + q (\vec{v} \times \vec{B}) \quad q$$

$$qv \delta(\vec{r} - \vec{r}')$$

\Rightarrow Magnetfelder verrichten keine Arbeit
(nicht möglich da keine Ladung)

falls Strom induziert ist

$$\vec{j} = \sigma \vec{E}$$

σ
Leitfähigkeit

Beispiel Monochromatisches Feld

$$\vec{E}(r, t) = \operatorname{Re} \left\{ \vec{E}(r) e^{-i\omega t} \right\} = \vec{E}' \cos(\omega t) + \vec{E}'' \sin(\omega t)$$

$$\text{Sei } \vec{E} = \vec{E}' - i\vec{E}''$$

\hookrightarrow zwei Quadraturen

$$\rightarrow \langle \vec{E} \cdot \vec{E} \rangle = \langle E' E' \cos^2(\omega t) + E' E'' \cos(\omega t) \sin(\omega t) + E'' E' \cos(\omega t) \sin(\omega t) + E'' E'' \sin^2(\omega t) \rangle$$

$$+ E' E'' \langle \sin^2(\omega t) \rangle = \frac{1}{2} |E'|^2 + \frac{1}{2} |E''|^2 = \frac{1}{2} |E(r)|^2$$

$$|C(r)| = \frac{1}{2} \sqrt{\frac{\epsilon_0}{\mu_0}} |E_C(r)|^2$$

Intensität für monochromatische Felder

$$\vec{E}_0 e^{ik \cdot r} \cdot (\vec{E}_0 e^{ik \cdot r})^* \\ - \vec{E}_0 \vec{E}_0^* = |E_0|^2$$

$$|C(r)| = \frac{1}{2} \sqrt{\frac{\epsilon_0}{\mu_0}} |E_0|^2$$

Intensität für ebene Wellen

$$\vec{E}_0 e^{i(k_x x + k_y y) - \gamma} \cdot (\vec{E}_0 e^{i(k_x x + k_y y) - \gamma})^* = \vec{E}_0 \cdot \vec{E}_0^* e^{-2\gamma}$$

$$|C(r)| = \frac{1}{2} \sqrt{\frac{\epsilon_0}{\mu_0}} |E_0|^2 e^{-2k_z z}$$

Intensität einer evanescenten Welle (Ortsabhängig)

Mit zwei Feldern

$$|C(r)| = \sqrt{\frac{\epsilon_0}{\mu_0}} \langle [E_1 + E_2] \cdot [E_1 + E_2] \rangle$$

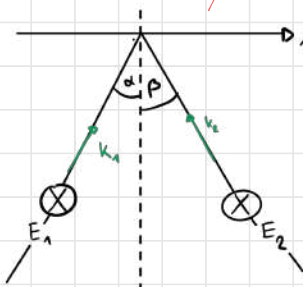
$$= \sqrt{\frac{\epsilon_0}{\mu_0}} \left[\langle E_1 \cdot E_1 \rangle + \langle \bar{E}_2 \cdot E_2 \rangle + 2 \langle E_1 \cdot E_2 \rangle \right]$$

$$= \sqrt{\frac{\epsilon_0}{\mu_0}} \left[\frac{1}{2} |E_1|^2 + \frac{1}{2} |\bar{E}_2|^2 + \operatorname{Re} \{ E_1 \cdot E_2^* \} \right]$$

Intensität für zwei Felder

$$= I_1 + I_2 + 2 I_{12}$$

Beispiel: Zwei Ebene Wellen mit gleicher Frequenz



$$\vec{E}_1(\vec{r}, t) = \operatorname{Re} \{ \vec{E}_1(r) e^{-i\omega t} \}, \quad \vec{E}_2(\vec{r}, t) = \operatorname{Re} \{ \vec{E}_2(r) e^{-i\omega t} \}$$

$$E_{10} e^{i k_1 \cdot \vec{r}}$$

$$E_{20} e^{i k_2 \cdot \vec{r}}$$

$$k_1 = k \begin{bmatrix} \sin \alpha \\ 0 \\ \cos \alpha \end{bmatrix}$$

$$k_2 = k \begin{bmatrix} -\sin \beta \\ 0 \\ \cos \beta \end{bmatrix}$$

Bei $z=0$:

$$= \operatorname{Re} \{ E_1 \cdot E_2^* \} = |E_{10}| |E_{20}| \operatorname{Re} \{ e^{i k_x (\sin \alpha - \sin \beta) + i(\phi_1 - \phi_2)} \}$$

$$\vec{E}_{10} e^{i k \sin \alpha x - i \omega t} \quad (\vec{E}_{20} e^{-i k \sin \beta x - i \omega t})^*$$

$$|E_{10}| e^{i \phi_1}$$

$$|E_{20}| e^{i \phi_2}$$

$$= E_{10} E_{20} \cos(k_x (\sin \alpha - \sin \beta) + \Delta \phi)$$

→ Intensität oszilliert bei der x-Achse

$$I(x) = I_1 + I_2 + 2\sqrt{I_1 I_2} \cos(kx(\sin\alpha - \sin\beta) + \Delta\phi)$$

Mass für Kohärenz:

$$\eta = \frac{I_{\max} - I_{\min}}{I_{\max} + I_{\min}}$$

Bsp 2 $\vec{E}_1 = \vec{E}_{10} \begin{bmatrix} 0 \\ 1 \\ 0 \end{bmatrix} e^{ikz}$ $E_2 = \vec{E}_{20} \begin{bmatrix} \cos\phi & \cos\alpha \\ \sin\phi & \\ -\cos\phi & \sin\alpha \end{bmatrix} e^{ik(x\sin\alpha + z\cos\alpha + \Delta z)}$

Ursprung von
 E_2 verschieben
verschiebt Interferenz

$$\Rightarrow z=0 \quad |E(x)|^2 = E_1^2 + E_2^2 + 2 E_1 E_2 \sin\phi \cos(kx \sin\alpha - k\Delta z)$$

$$(I = \frac{1}{2} \sqrt{\frac{\epsilon_0}{\mu_0}} |E(x)|^2)$$

falls $\phi=0$ (E_1 hat ja $\phi=\frac{\pi}{2}$)
keine Interferenz

Vorlesung 6

Wiederholung

- Wellengleichung im Vakuum

$$\nabla^2 E(r, t) - \frac{1}{c^2} \frac{\partial^2}{\partial t^2} E(r, t) = 0$$

- Helmholtzgleichung im Vakuum

wobei $E(r, t) = \Re\{E(r) e^{i\omega t}\}$
↳ nur eine Frequenz

$$\nabla^2 E(r) + k^2 E(r) = 0$$

→ Maxwell'sche Gl. → Frequenz ändert sich nicht linear

- Dispersionsrelation im Vakuum

$$k_x^2 + k_y^2 + k_z^2 = \frac{\omega^2}{c^2} = k^2$$

- Ebene Wellen

$$E(r) = E_0 e^{\pm ik \cdot r}$$

- Intensität

$$I(r) = \sqrt{\frac{\epsilon_0}{\mu_0}} \langle E(r, t) \cdot E(r, t) \rangle$$

↳ für monochromatische Felder

$$I(r) = \frac{1}{2} \sqrt{\frac{\epsilon_0}{\mu_0}} |E(r)|^2$$

Nachtrag zur Kohärenz

Von Cittert-Zernike Theorem: In grossen Abstand von einer inkohärenten Quelle entsteht Kohärenz.

Kohärenzlänge: $d \approx \frac{\lambda L}{\alpha}$

Heutige Frage: Wie lauten die konstituierenden Relationen im Frequenzraum?

$$\underline{D} = \epsilon_0 \underline{E} + \underline{P}, \quad \underline{B} = \mu_0 [\underline{H} + \underline{M}]$$

$$\Rightarrow D(r, t) = \epsilon_0 \int_{-\infty}^{\infty} dt' E(r', t') \rightarrow \text{nicht lokal, zeitlich und örtlich}$$

↳ linear

Im Fourier-Raum wird aus Faltung Produkt:

$$\rightarrow \hat{D}(k, \omega) = \epsilon_0 \epsilon(\omega) \hat{E}(k, \omega)$$

$$\hat{B}(r, \omega) = \mu_0 \mu(\omega) \hat{H}(r, \omega)$$

Abstand zwischen Atomen kleiner als Wellenlänge in der Praxis
(nicht für z.B. Gammastrahlen) \rightarrow lokal örtlich

Alternativ: Suszeptibilitäten

$$P(r) = \epsilon_0 X_e(r, \omega) E(r)$$

$$M(r) = X_m(r, \omega) H(r)$$

Komplexe Permittivität

$$\nabla \times \underline{H}(r) = -i\omega \underline{D}(r) + j_o(r)$$

$$= -i\omega \epsilon_0 \underbrace{[\epsilon' + i\epsilon'']}_{\epsilon} \hat{E} + \hat{j}_o(r) \quad \underbrace{\omega \epsilon_0 \epsilon''}_{\sigma} \hat{E} =: \hat{j}_{cond}$$

\rightarrow Leitfähigkeit

Realteil vs Imaginärteil

b
Reaktion
(Polarisation)

Verluste
(Verstand)

Wellengleichung in homogenen (dispersiven) Medien

$$(\beta=0, \rho=0)$$

$$\nabla \times \underline{H} = -i\omega \underline{D}$$

$$\nabla \times \nabla \times \underline{H} = -i\omega \epsilon_0 \epsilon \nabla \times \underline{E} = -i\omega \epsilon_0 \epsilon (i\omega \underline{B}) = \omega^2 \epsilon_0 \epsilon \mu_0 \mu \underline{\hat{H}}$$

||

$$\epsilon_0 \mu_0 = \frac{1}{c}$$

$$k = \frac{\omega}{c} \sqrt{\epsilon \mu}$$

$$\nabla \left(\underbrace{\nabla \cdot \underline{H}}_{=0} \right) - \nabla^2 \underline{H} \Rightarrow \boxed{\nabla^2 \underline{\hat{H}} + k^2 \underline{\hat{H}} = 0}$$

↳ Helmholtzgleichung

Bruchungsindeks

$$\text{oder } k^2 = k_0^2 \epsilon \mu$$

Beispiel: Skin Effekt in Metalle

$$\text{Falls } \sigma \gg |\omega \epsilon_0 \epsilon'| \rightarrow \epsilon'' \gg |\epsilon'|$$

→ Polarisationsstrom kann ignoriert werden

$$\rightarrow k^2 = \left(\frac{\omega}{c} \right)^2 \mu \epsilon \approx i \left(\frac{\omega}{c} \right)^2 \left(\frac{\mu_0 \sigma}{\omega \epsilon_0} \right)$$

$$\rightarrow \nabla^2 \underline{E}(r) + i\omega \sigma \mu_0 \mu \underline{E}(r) = 0 \rightarrow \text{gleich f\"ur } j = \sigma - E$$

j nur in x-Richtung

$$\rightarrow \partial_x^2 j + i\omega \sigma \mu_0 \mu j = 0$$

$$j(x) = j_0 e^{i \sqrt{i \omega \sigma \mu_0 \mu} x}$$

$$z = i\sqrt{i} = i^{\frac{3}{2}}$$

$$z^2 = i^3 = -i = e^{-i\frac{\pi}{2}}$$

$$z = \pm e^{\pm i\frac{\pi}{4}} = \pm \frac{1}{\sqrt{2}}(1-i)$$

$$\sqrt{\frac{1}{2} \omega \sigma \mu_0 \mu} := \omega_0$$

$$\stackrel{\text{Realteil}}{=} j_0 e^{\pm \omega_0 x} \cos(\mp \omega_0 x)$$

$$\stackrel{\text{Energieerhaltung}}{=} j_0 e^{-\omega_0 x} \cos(\omega_0 x) = j_0 e^{-x/D_s} \cos(x/D_s)$$

$$\boxed{D_s = \sqrt{\frac{2}{\omega \sigma \mu_0 \mu}} = \frac{1}{\omega_0}}$$

↳ Feld des Materials l\"oscht das Ursprungsfeld wieder aus.

↳ f\"ur hohe $\omega \rightarrow$ tiefe $D_s \rightarrow$ Strom nur an Oberfl\"ache

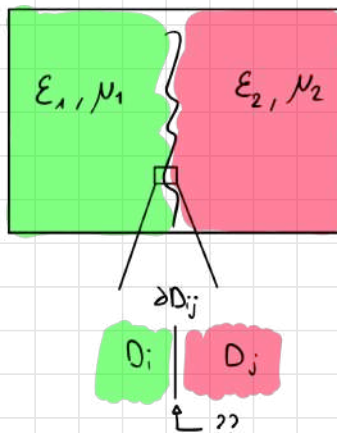
→ h\"oherer Widerstand

Vorlesung 7

Felder an Grenzflächen

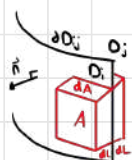
$$\nabla^2 E(r) + k_1^2 E(r) = 0$$

$$k_1^2 = \frac{\omega^2}{c^2} \mu_1 \epsilon_1$$



$$\nabla^2 E(r) + k_2^2 E(r) = 0$$

$$k_2^2 = \frac{\omega^2}{c^2} \mu_2 \epsilon_2$$

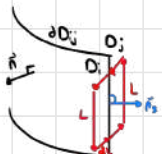


$$\underbrace{AdL p_i(r) + AdL p_j(r)}_{\int_V p_0(r) dV} \rightarrow p_i = \frac{\partial q_i}{\partial L dA} \rightarrow A \frac{d(q_i + q_j)}{dA} = A \sigma$$

→ Oberflächenladungsdichte

$$\int_V p_0(r) dV = \underbrace{\int_V D(r) \cdot n da}_{A[\vec{n} \cdot D_i(r)] - A[\vec{n} \cdot D_j(r)]} \quad dL \rightarrow 0$$

$$\rightarrow \vec{n} \cdot (\vec{D}_i(r) - \vec{D}_j(r)) = \sigma(r) \quad r \in \partial D_{ij}$$



$$\int_A E(r) ds = i \omega \underbrace{\int_A B(r) \cdot n_s da}_{\vec{n} \times \vec{E}(r) \rightarrow 0}$$

$$L[\vec{n} \times \vec{E}_i(r)] \cdot \vec{n}_s - L[\vec{n} \times \vec{E}_j(r)] \cdot \vec{n}_s \quad dL \rightarrow 0$$

$$\begin{aligned} \vec{n} \times \vec{n}_s &\rightarrow \text{Richtung von } L \\ L(\vec{n} \times \vec{n}_s) E &= L(\vec{n} \times \vec{E}) \cdot \vec{n}_s \end{aligned}$$

$$\Rightarrow \vec{n} \times [\vec{E}_i(r) - \vec{E}_j(r)] = 0 \quad r \in \partial D_{ij}$$

Analog:

$$\vec{n} \cdot [\vec{B}_i(r) - \vec{B}_j(r)] = 0$$

Oberflächenstromdichte K

aber

$$\int_{\partial A} H(r) ds = \int_A [j_0(r) - i \omega D(r)] \cdot \underbrace{n_s da}_{0 \rightarrow 0}$$

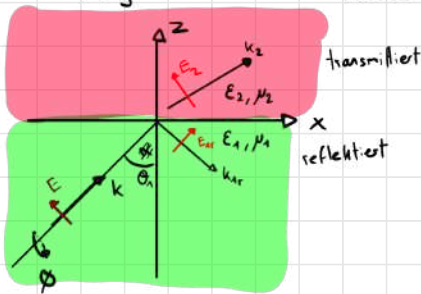
$$n \times [H_i(r) - H_j(r)] = K(r) \quad r \in \partial D_{ij}$$

Falls keine primäre Quelle $\rightarrow \sigma = 0, K = 0$

$$\Rightarrow B_i^\perp = B_j^\perp, \quad D_i^\perp = D_j^\perp, \quad E_i'' = E_j'', \quad H_i'' = H_j''$$

s- und p-Polarisation

Erinnerung:



Ebene Welle

$$E(r) = E_0 \begin{bmatrix} \cos \phi \cos \theta_i \\ \sin \phi \\ -\cos \phi \sin \theta_i \end{bmatrix} e^{ik(x \sin \theta_i + z \cos \theta_i)}$$

p-Polarisation $\phi = 0 \rightarrow E^{(p)}$

s-Polarisation $\phi = \pi/2 \rightarrow E^{(s)}$

$$E = \cos \phi E^{(p)} + \sin \phi E^{(s)}$$

$$\begin{bmatrix} \cos \theta_i \\ 0 \\ -\sin \theta_i \end{bmatrix} \begin{bmatrix} 0 \\ 1 \\ 0 \end{bmatrix}$$

Kontinuität von k''

$$\Rightarrow \text{Wellenvektor} \quad k = k_{||} + k_z n_z \quad k_{||} = (k_x, k_y, 0)$$

Randbedingung bei $z=0$ für E_1 :

$$[n \times E_1] e^{ik'' \cdot r_{||}} + [n \times E_2] e^{ik'' \cdot r_{||}} = [n \times E_3] e^{ik'' \cdot r_{||}}$$

\rightarrow muss linear abhängig sein

$$\Rightarrow k_{||}^{(a)} = k_{||}^{(s)} = k_{||}^{(c)} \quad \boxed{k_{||}^{(c)}} \quad \text{(Translationsinvarianz/Impulserhaltung)}$$

S Polarisation

$$E_1(r,t) = \operatorname{Re} \left\{ E_1 e^{i(k_x x + k_{z_1} z - \omega t)} \right\}$$

$$E_{1r}(r,t) = \operatorname{Re} \left\{ E_{1r} e^{i(k_x x + k_{z_1} z - \omega t)} \right\}$$

$$E_2(r,t) = \operatorname{Re} \left\{ E_2 e^{i(k_x x + k_{z_2} z - \omega t)} \right\}$$

$k_y = 0$
Lokal in der xz -Ebene

$$\Rightarrow E_1 = \begin{bmatrix} 0 \\ E_1^{(s)} \\ 0 \end{bmatrix}, \quad E_{1r} = \begin{bmatrix} 0 \\ E_{1r}^{(s)} \\ 0 \end{bmatrix}, \quad E_2 = \begin{bmatrix} 0 \\ E_2^{(s)} \\ 0 \end{bmatrix}$$

$$H = \frac{1}{\omega \mu \nu} [k \times E]$$

$$\Rightarrow H_1 = \frac{1}{Z_1} \begin{bmatrix} -(k_{z_1}/k_x) E_1^{(s)} \\ 0 \\ (k_x/k_1) E_1^{(s)} \end{bmatrix}, \quad H_{1r} = \frac{1}{Z_1} \begin{bmatrix} (k_{z_1}/k_x) E_{1r}^{(s)} \\ 0 \\ (k_x/k_1) E_{1r}^{(s)} \end{bmatrix}, \quad H_2 = \frac{1}{Z_2} \begin{bmatrix} -(k_{z_2}/k_2) E_2^{(s)} \\ 0 \\ (k_x/k_2) E_2^{(s)} \end{bmatrix}$$

wobei $Z_i = \sqrt{\frac{\mu_i \nu_i}{\epsilon_0 \epsilon_i}}$

$$E_i^H = E_j^H \Rightarrow E_1^{(s)} + E_{1r}^{(s)} = E_2^{(s)}$$

$$H_i^H = H_j^H \Rightarrow Z_1^{-1} \left[-(k_{z_1}/k_1) E_1^{(s)} + (k_{z_1}/k_1) E_{1r}^{(s)} \right] = Z_2^{-1} \left[-(k_{z_2}/k_2) E_2^{(s)} \right]$$

$$\Rightarrow \text{Matrix Form} \quad \begin{bmatrix} 1 & -1 \\ k_{z_1}/k_1 & \frac{z_1}{Z_2} \frac{k_{z_1}}{k_2} \end{bmatrix} \begin{bmatrix} E_{1r}^{(s)}/E_1^{(s)} \\ E_2^{(s)}/E_1^{(s)} \end{bmatrix} = \begin{bmatrix} -1 \\ k_{z_2}/k_2 \end{bmatrix}$$

$$\Rightarrow \frac{E_2^{(s)}}{E_1^{(s)}} = 2 \frac{k_{z_1}}{k_1} \left(\frac{k_{z_1}}{k_1} - \frac{z_1}{Z_2} \frac{k_{z_2}}{k_2} \right)^{-1} = \boxed{\frac{2 k_{z_1} \mu_2}{\mu_2 k_{z_1} + \mu_1 k_{z_2}}} = \tau^s(k_x, k_y)$$

$$\boxed{\tau^s(k_x, k_y) = \frac{\mu_2 k_{z_1} - \mu_1 k_{z_2}}{\mu_2 k_{z_1} + \mu_1 k_{z_2}}}$$

$$\boxed{\tau^s = \tau^s - 1}$$

\Rightarrow Falls Komplex: Amplituden und Phasenänderung

$$k_1 \cdot k_1 = \frac{\omega^2}{c^2} n_1^*(\omega), \quad k_2 \cdot k_2 = \frac{\omega^2}{c^2} n_2^*(\omega)$$

$$k_{x_1} = k_{x_2} \equiv k_x, \quad k_{z_1} = \sqrt{k_x^2 - k_{z_1}^2}, \quad k_{z_2} = \sqrt{k_x^2 - k_{z_2}^2}$$

$$k_x = k_1 \sin \theta_1 \quad \begin{cases} k_{z_1} = k_1 \cos \theta_1 \\ k_{z_2} = \sqrt{k_2^2 - k_1^2 \sin^2 \theta_1} \end{cases}$$

p-Polarisation

$$r^P(k_x, k_y) = \frac{\epsilon_2 k_{z1} - \epsilon_1 k_{z2}}{\epsilon_2 k_{z1} + \epsilon_1 k_{z2}}$$

$$t^P(k_x, k_y) = \frac{2 \cdot \epsilon_2 k_{z1}}{\epsilon_2 k_{z1} + \epsilon_1 k_{z2}} \sqrt{\frac{\mu_2 \epsilon_1}{\mu_1 \epsilon_2}}$$

Achtung: für $\Theta_1 = 0 \rightarrow r^s = -r^P$

Brewster Winkel

$$k_{z1} = k_1 \cos \Theta_B, \quad k_{z2} = \sqrt{k_2^2 - k_1^2 \sin^2 \Theta_B}$$

$(k_1 = \frac{\omega}{c} n_1, \quad k_2 = \frac{\omega}{c} n_2)$

existiert ein Winkel, für den nichts reflektiert wird

$$\rightarrow r^P = 0, \quad r^s = 0$$

im sichtbaren Bereich sind Materialien

$$\rightarrow \epsilon_2 k_{z1} = \epsilon_1 k_{z2}, \quad \mu_2 k_{z1} = \mu_1 k_{z2}$$

unmagnetisch $\mu_1 = \mu_2 = 1$

↳ kann man nicht erfüllen

durch Rotation von Ladungen (passiert im GHz Bereich)

$$\epsilon_2^2 \epsilon_1 \cos^2 \Theta_B = \epsilon_1^2 (\epsilon_2 - \cancel{\epsilon_1} \sin^2 \Theta_B)$$

Sei $\epsilon_1 = 1$

$$\uparrow \sin^2 \Theta_B + \cos^2 \Theta_B$$

$$\text{Bsp. H}_2\text{O : } n = 1.35 \rightarrow \Theta_B = 53^\circ$$

$$\text{SiO}_2 : n = 1.5 \rightarrow \Theta_B = 56^\circ$$

$$\rightarrow \epsilon_2 (\epsilon_2 - 1) \cos^2 \Theta_B = (\epsilon_2 - 1) \sin^2 \Theta_B$$

$$\tan \Theta_B = \sqrt{\epsilon_2} = n, \quad \Theta_B = \arctan(\sqrt{\epsilon_2})$$

↳ ist nur s polarisiert

→ Licht von z.B. Wasser reflektiert → grösstenteils S-polarisiert

→ polarisierende Brillen (holo k_{z2})

↳ vertikal polarisierte Brillen lässt vertikal nicht durch

Totalreflexion

Fresnel + Dispersionsrelation + Stetigkeit von k''

$$\text{Einfallsinkel } k_x = k_1 \sin \theta_1 \rightarrow k_{z1} = k_1 \cos \theta_1 \quad k_{z2} = \sqrt{k_e^2 - k_1^2 \sin^2 \theta_1}$$

$$= k_2 \sqrt{1 - \left(\frac{k_1}{k_2}\right)^2 \sin^2 \theta_1}$$

$$\text{Verlustfreie Materialien: } k_{z2} = k_2 \sqrt{1 - \left(\frac{n_1}{n_2}\right)^2 \sin^2 \theta_1}$$

$$\tilde{n} = \sqrt{\frac{\epsilon_1 \mu_1}{\epsilon_2 \mu_2}}$$

$\tilde{n} < 1 \rightarrow k_{z2}$ reell \rightarrow ebene Welle

$\tilde{n} > 1 \rightarrow k_{z2}$ imaginär \rightarrow evanescente Welle

Kritischer Winkel $\Rightarrow 1 - \tilde{n}^2 \sin^2 \theta_1 = 0$

$$\sin \theta_1 = \frac{1}{\tilde{n}} \quad \text{bzw.} \quad \theta_c = \arcsin\left(\frac{1}{\tilde{n}}\right)$$

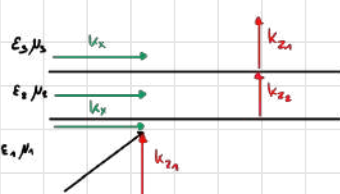
z.B. Glas \rightarrow Luft $\epsilon_2 = 1, \epsilon_1 = 2.25$

$$\rightarrow \theta_c = 41.8^\circ$$

\hookrightarrow für alle Winkel $\geq \theta_c$
 Totalreflexion

Vorlesung 8

Frustrierte Totalreflexion



k_x ist stetig

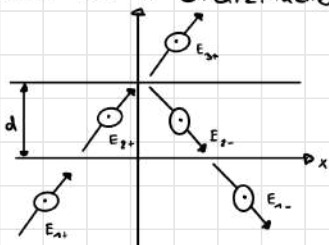
$$k_{zi} = \sqrt{\frac{\omega^2}{c^2} \mu_i \epsilon_i - k_x^2}$$

$$\text{Falls } \beta = 1 \Rightarrow k_{z1} = k_{z3}$$

Ebene Welle rein \rightarrow gleiche Welle wieder raus, Spaltgrösse egal

Allg: Pro unbekannte eine Gleichung \rightarrow Gauss-Elimination
 auch für n Grenzflächen

Bsp



$$E_{1+}(r) = \begin{bmatrix} 0 \\ E_{1+} \\ 0 \end{bmatrix} e^{ik_x x + ik_{z2} z}$$

$$E = \begin{cases} E_{1+} + E_{1-} & z < 0 \\ E_{2+} + E_{2-} & 0 < z < d \\ E_{3+} & z > d \end{cases} \rightarrow \text{Gleichungen für Randbedingungen}$$

Kontinuitätsgleichung

$$\underbrace{H \cdot (\nabla \times E) - E \cdot (\nabla \times H)}_{\nabla \cdot (E \times H)} = -H \frac{\partial B}{\partial t} - E \frac{\partial D}{\partial t} - j_0 E$$

$$\int_V (E \times H) \cdot n \, da = - \int_V [H \cdot \frac{\partial B}{\partial t} + E \cdot \frac{\partial D}{\partial t} + j_0 E] \, dV$$

John Poynting / Oliver Heaviside (1883):

$$\int_V (E \times H) \cdot n \, da + \frac{\partial}{\partial t} \int_V \frac{1}{2} [D \cdot E + B \cdot H] \, dV$$

$$S \rightarrow \text{Ausbreitungsrichtung der Energie} = - \int_V j_0 \, dV - \frac{1}{2} \int_V [E \cdot \frac{\partial P}{\partial t} - P \frac{\partial E}{\partial t}] \, dV - \frac{\mu}{2} \int_V [H \cdot \frac{\partial M}{\partial t} - M \frac{\partial H}{\partial t}] \, dV$$

\Rightarrow ist ein Erhaltungssatz

Energiefluss und Intensität

\rightarrow zeitliches Mittel der obigen Gleichung

$$\langle S(r) \rangle = \langle E(r,+) \times H(r,+) \rangle = \frac{1}{2} \operatorname{Re} \{ E(r) \times H^*(r) \}$$

$$\text{Allg.: } \langle \frac{\partial}{\partial t} f(t) \rangle = \langle \frac{\partial}{\partial t} f_{\text{var}}(t) \rangle + \langle \frac{\partial}{\partial t} f_{\text{konst}}(t) \rangle = 0$$

f_{var} zeitlich variabel
 f_{konst} aber ohne Mittelwert
 $\rightarrow \langle \dots \rangle = 0$

$\frac{\partial}{\partial t} f_{\text{konst}}$ zeitlich konstant/
 Mittelwert

Bem $\frac{dP}{dt}$ Polarisierungsstrom

\rightarrow durch das E-Feld induziert

$\frac{\partial M}{\partial t}$ Magnetisierungsstrom

$$\Rightarrow \frac{1}{2} \operatorname{Re} \int_V [E \times H^*] \cdot n \, da = -\frac{1}{2} \operatorname{Re} \int_V j \cdot E^* \, dV$$

$\hookrightarrow j_0 + j_{\text{pol}} + j_{\text{mag}}$

$$\text{Def } I(r) = \langle S(r) \rangle$$

$$\int_V \langle S \rangle \cdot n \, da = -\frac{1}{2} \operatorname{Re} \int_V j \cdot E \, dV$$

Gesamtleistung

$$\bar{P} = \int_{\partial V} \langle S(r) \rangle \cdot n \, da = \int_{\partial V} I(r) \, da$$

Fernfeld
(Ebene Welle)

$$\langle S(r) \rangle = \frac{1}{2} \frac{1}{z_i} |E(r)|^2 n_r$$

Impulserhaltung & Strahlungsdruck

Impuls:

$$\int_{\partial V} T \cdot n \, da - \frac{\partial}{\partial t} \int_V g_{\text{field}} \, dV = \int_V \frac{\partial}{\partial t} g_{\text{mech}} \, dV$$

$$e_0 E E + \mu_0 H H - \frac{1}{2} (e_0 E^2 + \mu_0 H^2) \stackrel{!}{=} \frac{1}{c^2} [E \times H]$$

Elektromagnetischer Impuls

$$p(r) = \frac{1}{c^2} \int_V \langle S(r) \rangle \, dV$$

$$\frac{dp}{dt} = \frac{1}{c^2} \langle S \rangle dx dy \frac{dz}{dt} \longrightarrow c$$

Strahlungsdruck $P = \frac{1}{c} \langle S \rangle$

$$P_{\text{in}} = P_{\text{ref}} + P_{\text{mech}}$$

$$\frac{1}{c} \langle S \rangle = -A \frac{1}{c} \langle S \rangle$$

$$\Rightarrow P_{\text{mech}} = (1+A) \frac{1}{c} \langle S \rangle \quad A = |r|^2$$

\Rightarrow Satelliten benutzen diesen Strahlungsdruck

$$x = \frac{1}{2} \frac{at^2}{c^2}$$

$1000 \frac{km}{s}$

Vorlesung 9

Lineare Netzwerke und Systeme

Wiederholung:

Allg. Wellengleichung $\nabla \times \nabla \times E + \frac{1}{c^2} \frac{\partial^2 E}{\partial t^2} = -\mu_0 \frac{\partial}{\partial t} \left(j_0 + \frac{\partial P}{\partial t} + \nabla \times M \right)$

Zeitharmonische Felder $E(r, t) = R \cdot \{ E(r) e^{i \omega t} \}$ gleich für j_0, P, M

Lineare, homogen
Medien $\underline{P} = \epsilon_0 (\epsilon - 1) \underline{E} \quad , \quad \underline{M} = \mu_0 (\mu - 1) \underline{H}$

Wellengleichung
für komplexe
Felder

$$\nabla \times \nabla \times \underline{E} - k^2 \underline{E} = i\omega \mu \mu_0 j_0$$

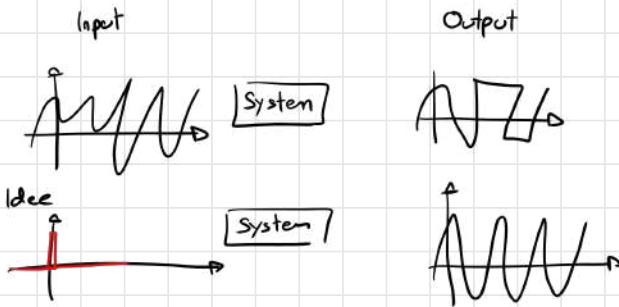
$$\rightarrow \frac{\omega^2}{c^2} \underline{E}_0$$

Lösung:

$$\Rightarrow \underline{E}(r) = \underline{E}_0 + i\omega \mu \mu_0 \int_V \vec{G}(r, r') j_0(r') dV' \quad r \notin V$$

↓ ↓ ↓
homogen partikuläre $r' \rightarrow j_0 \neq 0$
Lösung Lösung $r \rightarrow$ Antwort/Messpunkt

Für lineare Netzwerke:



\Rightarrow Fourier mit bekannten Input

$$F_0(\omega) = G(\omega) F_i(\omega)$$

↑
Übertragungs-
Funktion

\rightarrow Jetzt kein System mehr, sondern unser Raum

3D-Fouriertransformation

$$\hat{E}(k) = \hat{G}(k) \hat{f}(k)$$

Lineare Diff. gleich

$$g \rightarrow \boxed{L} \rightarrow f$$

$$\boxed{L} f = g$$

Bsp: harmonischer Oszillator

$$L = \left[m \frac{d^2}{dt^2} + k \right]$$

$$g = F(t)$$

$$f = X(t)$$

F wählen mit $F(t) = \tilde{F}_0 \delta(t - t')$

In unserem Fall

$$\mathbb{L} = \left[\nabla \times \nabla \times + \frac{1}{c^2} \frac{\partial^2}{\partial t^2} \right]$$

$$\mathbf{g} = -\mu_0 \frac{\partial}{\partial t} \vec{J}$$

$$\vec{f} = \vec{E}$$

$$\mathbf{g} \text{ mit } \mathbf{g} = \vec{g} \delta(t-t') \delta(\vec{r}-\vec{r}')$$

Greensche Funktion

$$\mathbb{L} \vec{A}(\vec{r}) = \vec{B}(\vec{r})$$

1) Stossantwort $\vec{n} \delta(\vec{r}-\vec{r}')$
Richtung \Rightarrow Vektorielle Anregung

Greensche
Funktion

$$\mathbb{L} \overset{\leftrightarrow}{G}_i(\vec{r}, \vec{r}') = \vec{n}_i \delta(\vec{r}-\vec{r}')$$

i = x, y, z

$$\mathbb{L} \overset{\leftrightarrow}{G}_i(\vec{r}, \vec{r}') = \overset{\leftrightarrow}{I} \delta(\vec{r}-\vec{r}')$$

$$\begin{bmatrix} (\vec{G}_x), (\vec{G}_y), (\vec{G}_z) \end{bmatrix} \overset{\vec{1}_3}{=} \begin{bmatrix} (\vec{g}_x), (\vec{g}_y), (\vec{g}_z) \end{bmatrix}$$

$$\int_V \mathbb{L} \overset{\leftrightarrow}{G}(\vec{r}, \vec{r}') \vec{B}(\vec{r}') dV = \underbrace{\int_V \overset{\leftrightarrow}{I} \delta(\vec{r}, \vec{r}') \vec{B}(\vec{r}') dV}_{\vec{B}(\vec{r})}$$

$$\int_V \square \vec{B}(\vec{r}') dV$$

auf \vec{r}' auf \vec{r}
 \Rightarrow Austauschen auf
falls $\vec{r} \notin V$

(falls E in \vec{f})

$$\mathbb{L} \left(\int_V \overset{\leftrightarrow}{G}(\vec{r}, \vec{r}') \vec{B}(\vec{r}') dV' \right) = \vec{B}(\vec{r})$$
$$= \vec{A}(\vec{r})$$

\Rightarrow für die Wellengleichung

$$\vec{E}(r) = i \omega \mu_0 \epsilon_0 \int_V \overset{\leftrightarrow}{G}(r, r') \vec{j}_0(r') dV'$$

$$\text{wobei } \nabla \times \nabla \times \overset{\leftrightarrow}{G}(r, r') - k^2 \overset{\leftrightarrow}{G}(r, r') = \overset{\leftrightarrow}{I} \delta(r-r')$$

Bsp 1 Harmonischer Oszillator

$$m\ddot{x} + kx = F(t) \quad \mathcal{L}x = F \quad \mathcal{L} = m\frac{d^2}{dt^2} + k$$

Lösung $x(t) = x_p(t) + A \sin(\omega t) + B \cos(\omega t)$ $\omega = \sqrt{k/m}$

$$\Rightarrow m\ddot{G}(t, t') + k G(t, t') = \delta(t - t')$$

Lösung $G(t, t') = \frac{1}{m\omega} \sin(\omega(t - t'))$

$$x_p(t) = \int_{-\infty}^t F(t') G(t, t') dt'$$

Potenziale

Elektrostatik
 $\nabla \cdot E = \frac{1}{\epsilon_0} P$ $\nabla \times E = 0$
 $\rightarrow E = -\nabla \phi$ (def.)

Poisson: $\nabla \cdot \nabla \phi = -\frac{1}{\epsilon_0} P$

$$\boxed{\nabla^2 \phi = -\frac{1}{\epsilon_0} P} \quad \text{und} \quad \phi = \frac{1}{4\pi\epsilon_0} \int_V \frac{P(r', t)}{|r - r'|} dV'$$

Analog für Magnetostatik
 $\nabla^2 A = -\mu_0 j_0$ $A = \frac{\mu_0}{4\pi} \int_V \frac{j(r', t)}{|r - r'|} dV'$

$$\text{mit } B = \nabla \times A$$

$$1) \nabla \cdot B = 0 \rightarrow \nabla \cdot \nabla \times A = 0 \Rightarrow B = \nabla \times A \quad (\text{def.})$$

$$2) \nabla \times E = -\frac{\partial B}{\partial t} \rightarrow \nabla \times [E + \frac{\partial}{\partial t} A] = 0$$

$$\rightarrow \nabla \times \nabla \phi = 0 \Rightarrow E + \frac{\partial}{\partial t} A = -\nabla \phi \quad (\text{def.})$$

\Rightarrow $E(r, t) = -\frac{\partial}{\partial t} A(r, t) - \nabla \phi(r, t)$
 $B(r, t) = \nabla \times A(r, t)$

$$E(r, t) = -\frac{\partial}{\partial t} \tilde{A} - \cancel{\frac{\partial}{\partial t} \nabla \times} - \nabla \tilde{\phi} + \cancel{\nabla \frac{\partial}{\partial t} \phi} = -\frac{\partial}{\partial t} \tilde{A} - \nabla \tilde{\phi}$$

$$\rightarrow B(r, t) = \nabla \times \tilde{A}$$

Bem: Eichfunktion $\tilde{X}(r, t)$: $A \rightarrow \tilde{A} + \nabla \tilde{X}$
 $\phi \rightarrow \tilde{\phi} - \frac{\partial \tilde{X}}{\partial t}$ $\left. \begin{array}{l} E, B \text{ bleiben unverändert} \\ \downarrow \end{array} \right.$

$\nabla \times A$ ist definiert $\nabla \cdot A$ nicht \rightarrow egal wie man $\nabla \cdot A$ wählt

$$3) \nabla \times H = \frac{\partial D}{\partial t} + j_0 \quad (H = \frac{1}{\mu_0} B - M)$$

$$D = \epsilon_0 E + P$$

$$\rightarrow \nabla \times B - \frac{1}{c^2} \frac{\partial E}{\partial t} = \mu_0 \underbrace{[\nabla \times M + \frac{\partial P}{\partial t} + j_0]}_{j}$$

$$\rightarrow \underbrace{\nabla \times \nabla \times A}_{\nabla^2 - \nabla(\nabla \cdot)} + \frac{1}{c^2} \frac{\partial^2}{\partial t^2} A + \frac{1}{c} \nabla \frac{\partial \phi}{\partial t} = \mu_0 j$$

$$\rightarrow \nabla^2 A - \frac{1}{c^2} \frac{\partial^2}{\partial t^2} A = -\mu_0 j + \nabla \left[\nabla \cdot A + \frac{1}{c^2} \frac{\partial \phi}{\partial t} \right] \quad \nabla \cdot A \text{ gesucht wählen}$$

$$= -\mu_0 j$$

4) $\nabla \cdot D = p_0$

$$\rightarrow D \cdot \left(\frac{\partial A}{\partial t} + \nabla \phi \right) = \frac{1}{\epsilon_0} p \quad p_{\text{pol}} = \frac{\partial p}{\partial t}$$

$$p = p_0 + p_{\text{pol}}$$

Eichungen

Lorenz: $\nabla \cdot A = -\frac{1}{c^2} \frac{\partial \phi}{\partial t} \Rightarrow$

$$\begin{aligned} \left[\nabla^2 - \frac{1}{c^2} \frac{\partial^2}{\partial t^2} \right] A &= -\mu_0 j \\ \left[\nabla^2 - \frac{1}{c^2} \frac{\partial^2}{\partial t^2} \right] \phi &= -\frac{1}{\epsilon_0} p \end{aligned}$$

Coulomb: $\nabla \cdot A = 0$

$$\left[\nabla^2 - \frac{1}{c^2} \frac{\partial^2}{\partial t^2} \right] A = -\mu_0 j$$

\rightarrow Quantum electrodynamics

$$\nabla^2 \phi = -\frac{1}{\epsilon_0} p$$

\hookrightarrow wie Poisson

Skalare Green'sche Funktion

Falls Strom und Feld gleiche Richtung $\stackrel{\leftrightarrow}{G}$ skalär

von der Lorenz Eichung $\nabla A = -\mu_0 j$

$$\downarrow \begin{pmatrix} \nabla A_x \\ \nabla A_y \\ \nabla A_z \end{pmatrix} = -\mu_0 \begin{pmatrix} j_x \\ j_y \\ j_z \end{pmatrix} \rightarrow \text{Skalare Diff. Gleichung}$$

$$\Rightarrow \text{umformen} \quad \left[\nabla^2 + k^2 \right] A(r) = -\mu_0 \mu_j \delta_0(r) \quad \mid \quad \left[\nabla^2 + k^2 \right] \phi(r) = -\frac{1}{\epsilon_0 \epsilon} p_0(r)$$

\rightarrow Green'sche Funktion:

$$\boxed{\left[\nabla^2 + k^2 \right] G_0(r, r') = -\delta(r-r')}$$

$$\rightarrow A(r) = \mu_0 \mu_j \int_V G_0(r, r') j_0(r') dV' \quad \phi(r) = \frac{1}{\epsilon_0 \epsilon} \int_V G_0(r, r') p_0(r') dV'$$

$$\text{Ansatz: } R G_0 = a_1 e^{ikR} + a_2 e^{-ikR} \quad \text{mit } R = r - r' \\ \hookrightarrow \text{Kugelwelle}$$

Einsetzen und über Volumen ΔV mit Radius r_0 um r' integrieren $\int \delta(r-r') dV = 1$

$$\underbrace{\int_{\Delta V} \nabla^2 \frac{1}{R} dV}_{2\pi k^2 r_0^2} + k^2 \underbrace{\int_{\Delta V} \frac{1}{R} dV}_{a_1 + a_2} = \frac{-1}{a_1 + a_2} \left(\int_{\Delta V} \frac{1}{R} dV = \int_0^{r_0} \int_0^{\pi} \int_0^{\pi} \frac{1}{R} R^2 \sin \theta d\phi d\theta dR = 2\pi r_0^2 \right)$$

$$\downarrow \\ \int_{\Delta V} \nabla \cdot \nabla \frac{1}{R} dV = \int_{\Delta V} \nabla \frac{1}{R} \vec{n}_R da = - \int_{\partial \Delta V} \frac{1}{R^2} da = -4\pi$$

$$\text{wobei } \nabla \frac{1}{R} = -\frac{\vec{n}_R}{R^2}$$

$$\text{für } \varepsilon \rightarrow 0 \quad a_1 + a_2 = \frac{1}{4\pi}$$

$$\text{Freier Raum } a_2 = 0 \quad \Rightarrow \quad G_0(r, r') = \frac{e^{ik|r-r'|}}{4\pi |r-r'|}$$

Lösung anhand der Green'schen Funktion

$$\nabla \times \nabla \times E - k^2 E = i\omega \mu_0 \mu_f j_0$$

$$E(r) = i\omega \mu_0 \mu_f \int_V \overleftrightarrow{G}(r, r') j_0(r') dV' \quad r \notin V$$

$$\text{Dyadische Green Funktion: } \nabla \times \nabla \times \overleftrightarrow{G}(r, r') - k^2 \overleftrightarrow{G}(r, r') = \overleftrightarrow{S}(r-r')$$

$$\text{Skalare Green Funktion} \quad [\nabla^2 + k^2] G_0(r, r') = -S(r-r')$$

$$\hookrightarrow \frac{e^{-ik|r-r'|}}{4\pi |r-r'|}$$

$$\Rightarrow \boxed{\overleftrightarrow{G}(r, r') = \left[\overleftrightarrow{I} + \frac{1}{k^2} \nabla \nabla \right] G_0(r, r')}$$

Vorlesung 10


Herleitung:

$$E(r) = i\omega \underline{A}(r) - \nabla \underline{\phi}(r) \quad \text{Lorenz: } \nabla \cdot \underline{A}(r) = \frac{i\omega}{c} \underline{\phi}(r)$$

$$E(r) = i\omega \left[1 + \frac{1}{k^2} \nabla \nabla \right] \underline{A}(r) = i\omega \left[1 + \frac{1}{k^2} \nabla \nabla \right] \mu_0 N \int_V G_0(r, r') \underline{j}_0(r') dV' \\ (\underline{A}(r) = \mu_0 N \int_V G_0(r, r') \underline{j}_0(r') dV') = i\omega \mu_0 N \int_V \left[1 + \frac{1}{k^2} \nabla \nabla \right] G_0 \underline{j}_0 dV'$$

$$= i\omega \mu_0 N \int_V \left[\vec{I} G_0(r, r') + \frac{1}{k^2} \nabla \cdot \underbrace{\nabla \cdot [G_0(r, r') \vec{I}]}_{\nabla G_0} \right] j_0(r') dV'$$

$$= i\omega \mu_0 N \int_V \left[\left[\vec{I} + \frac{1}{k^2} \nabla \nabla \right] G_0(r, r') \right] j_0(r') dV'$$

wobei $E(r) = i\omega \mu_0 N \int_V \vec{G}(r, r') j_0(r') dV'$

$$\Rightarrow \left[\vec{I} + \frac{1}{k^2} \nabla \nabla \right] G_0(r, r') = \vec{G}(r, r')$$

$$\vec{R} \vec{R} = \begin{pmatrix} (x-x') & (y-y') & (z-z') \\ (y-y') & (z-z') \end{pmatrix} \begin{pmatrix} (x-x') \\ (y-y') \\ (z-z') \end{pmatrix}$$

$$\Rightarrow \vec{G}(r, r') = \left[\vec{I} + \frac{1}{k^2} \nabla \nabla \right] \frac{e^{ik|r-r'|}}{4\pi |r-r'|}$$

$$= \frac{\exp(ikR)}{4\pi R} \left[\left(1 + \frac{ikR - 1}{k^2 R^2} \vec{I} \right) + \frac{3 - 3ikR - k^2 R^2}{k^2 R^2} \frac{\vec{R} \vec{R}}{R^2} \right]$$

$$\vec{R} = \vec{r} - \vec{r}'$$

$$= \vec{G}_{NF} + \vec{G}_{IF} + \vec{G}_{ZF}$$

$\vec{R} \quad \vec{R}^{-2} \quad \vec{R}^{-1}$
 Nahfeld (Intermediate) \rightarrow Fernfeld
 (Fernfeld)

Dipolstrahlung

Punktstrom existiert in einem Punkt

$$j_0(r, t) = q \vec{v} \delta(r - \vec{r}_0) = \frac{d}{dt} \vec{p} \delta(r - \vec{r}_0) \rightarrow \vec{j}_0(r) = -i\omega \vec{p} \delta(r - \vec{r}_0)$$

Dipolmoment	$\vec{p} = q\vec{s}$
$s \uparrow$	$q \rightarrow \infty$
$s \downarrow$	$s \rightarrow 0$

$$\text{komplex } j_0(r, t) = \Re \{ j_0(r) e^{-i\omega t} \} = \Re \{ \vec{p} e^{-i\omega t} \}$$

$$\vec{E}(r) = i\omega \mu_0 N \int_V \vec{G}(r, r') \vec{j}_0(r') dV' = \omega^2 \mu_0 N \vec{G}(r, r_0) \vec{p}$$

Dipolfelder

$$\nabla \times \nabla \times \vec{E}(r) - k^2 \vec{E}(r) = i\omega \mu_0 N \vec{j}_0(r) \rightarrow \omega^2 \mu_0 N \vec{G}(r, r_0) \vec{p}$$

Bisher alles kartesisch \rightarrow transformieren in sphärische Koordinaten

$$\begin{bmatrix} E_r \\ E_\theta \\ E_\phi \end{bmatrix} = \underbrace{\begin{bmatrix} \sin\theta \cos\phi & \sin\theta \sin\phi & \cos\theta \\ \cos\theta \cos\phi & \cos\theta \sin\phi & -\sin\theta \\ -\sin\phi & \cos\phi & 0 \end{bmatrix}}_T \begin{bmatrix} E_x \\ E_y \\ E_z \end{bmatrix}$$

$$E^3(r) = \omega^2 \mu_0 \mu T \vec{G} P$$

↑ transformation rechts
 P ist z -Achung
 $x = r \sin\theta \cos\phi$
 $y = r \sin\theta \sin\phi$
 $z = r \cos\theta$

⇒ E -Feld zwei Komponenten
 H -Feld nur eine

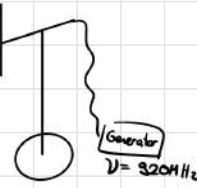
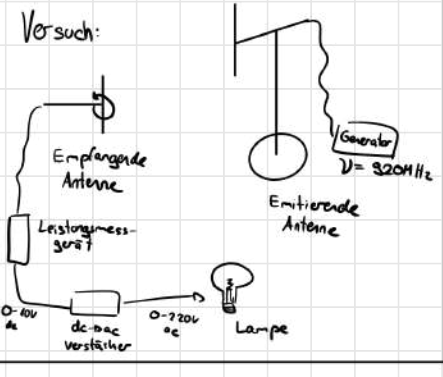
$$E_r = \frac{|P| \cos\theta}{4\pi\epsilon_0\epsilon} \frac{\exp(ikr)}{r} k^2 \left[\frac{2}{k^2 r^2} - \frac{2i}{kr} \right]$$

$$E_\theta = \frac{|P| \sin\theta}{4\pi\epsilon_0\epsilon} \frac{\exp(ikr)}{r} k^2 \left[\frac{1}{k^2 r^2} - \frac{i}{kr} - 1 \right]$$

$$H_\phi = \frac{|P| \sin\theta}{4\pi\epsilon_0\epsilon} \frac{\exp(ikr)}{r} k^2 \left[-\frac{i}{kr} - 1 \right] \sqrt{\frac{\epsilon_0 \epsilon}{\mu_0 \mu}}$$

$$kr = 2\pi \frac{r}{\lambda}$$

Versuch:



Leistung

$$\bar{P} = \frac{1}{2} \int dV \operatorname{Re} \{ E(r) \times H^*(r) \} \cdot n da$$

$$d = (r - r') = r \quad r \text{ falls } r' = 0$$

$$= \frac{1}{2} \int_0^\infty \int_0^\pi \operatorname{Re} \{ E \times H^* \} r^2 \sin\theta d\theta d\phi$$

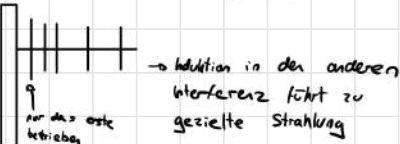
$$= \frac{|P|^2}{4\pi\epsilon_0\epsilon} \frac{n^3 c^4 t}{3c^3}$$

$$\frac{\bar{P}(\theta, \phi)}{\bar{P}} = \frac{3}{8\pi} \sin^2 \theta$$

Multi-Element Antennen

$\lambda/2$ -Antenne (für eine Frequenz)

Laut meistern Abstrahlung wenn die Länge der Antenne eine halbe Wellenlänge ist.



Vorlesung 11

Dipolstrahlung in inhomogenen Räumen

$$\text{Energieerhaltung} \quad \int_V (E \times H) \cdot n da + \frac{d}{dt} \int_V \frac{1}{2} [D \cdot E + B \cdot H] dV = - \int_V j \cdot E dV$$

$$\bar{P} = \int_V \langle S(r) \rangle \cdot n da = -\frac{1}{2} \int_V \operatorname{Re} \{ j^*(r) \cdot E(r) \} dV$$

Arbeit am Dipol

$$\text{mit } j(r) = -i\omega \mu_0 \delta(r-s) \rightarrow \bar{P} = \frac{\omega}{2} \operatorname{Im} \{ j^* \cdot E(r_0) \}$$

$$= \frac{\omega^2 |P|^2}{2 c^4 \epsilon_0 \epsilon} \left[n_p \cdot \operatorname{Im} \{ G(s, r_0; \omega) \cdot j_p \} \right]$$

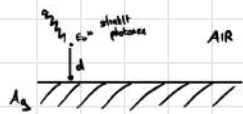
(Dipol in z -Richtung)

in beliebigen Umgebungen

$$E(r_0) = E_0(r_0) + E_s(r_0)$$

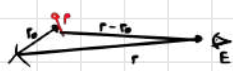
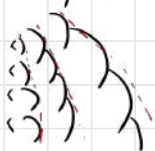
$$\frac{\bar{P}}{P_0} = 1 + \frac{6\pi\epsilon_0}{|P|^2} \frac{1}{k^2} \operatorname{Im} \left\{ P^* \cdot E_s(r_0) \right\}$$

Bsp. Atome an Grenzfläche



Fraunhofer Approximation

Phased-array Antennen



$$|r - r_0|^2 = |r|^2 - 2|r|r_0 \cos \theta + |r_0|^2$$

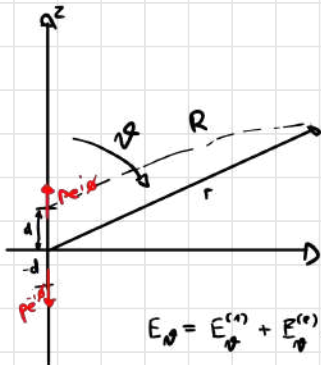
$$-d|r - r_0| = |r| \sqrt{1 - 2 \cos \theta \frac{|r_0|}{|r|} + \frac{|r_0|^2}{|r|^2}} \quad r_0 \ll r$$

$$\approx |r| - \cos \theta |r_0| = |r| - \frac{r \cdot r_0}{|r|} \quad \text{Taylor}$$

$$\rightarrow \text{Sei } E_i(r, r_0) = |E_i(r, r_0)| e^{i \arg(E_i(r, r_0))}$$

$$|E_i(r, r_0)| = |E_i(r, r_0)| e^{ik|r - r_0|}$$

$$\approx |E_i(r, 0)| e^{ik(|r| - \frac{r_0 \cdot r}{|r|})} \quad \text{Fraunhofer}$$



$$E_\phi^{(r)} \approx \frac{1}{4\pi\epsilon_0} P e^{i\phi} \sin \theta \frac{e^{ik(R - r - d \cos \theta)}}{R}$$

$$E_\theta^{(r)} \approx \frac{1}{4\pi\epsilon_0} P e^{i\phi} \sin \theta \frac{e^{ik(r + d \cos \theta)}}{r}$$

$$E_N = E_\phi^{(r)} + E_\theta^{(r)} = -\frac{1}{4\pi\epsilon_0} P \sin \theta \frac{1}{r} e^{ikr} \underbrace{\left[e^{-i(kd \cos \theta - \phi)} + e^{i(kd \cos \theta - \phi)} \right]}_{2 \cos(kd \cos \theta - \phi)}$$

$$\rightarrow \text{max wenn } kd \cos \theta - \phi = 0$$

$$\theta = \arccos \left(\frac{\phi}{kd} \right)$$

\rightarrow dort ein max wo nötig

\rightarrow Phase ändern α oft halbe Wellenlänge

Quellen mit beliebiger Zeitabhängigkeit

(bisher monochromatisch)

$$A(r) = \mu_0 \int_V G_0(r, r') j_0(r') dV'$$

$$\begin{aligned} j_0(r, t) &= \int_0^\infty \hat{j}_0(r, \omega) e^{-i\omega t} d\omega \\ A(r, t) &= \int_{-\infty}^\infty \hat{A}(r, \omega) e^{-i\omega t} d\omega \end{aligned} \quad \left. \right\} \text{Fourier}$$

$$\rightarrow \text{gilt das Gleiche } \hat{A}(r, \omega) = \mu_0 \int_V \hat{G}_0(r, r', \omega) \hat{j}_0(r', \omega) dV' \\ \text{L} \triangleright \frac{\exp(i\hbar/r - r')}{4\pi |r - r'|}$$

schwierig integrierbar mit verschiedenen Methoden

$$A(r, t) = \frac{\mu_0}{2\pi} \int_V G_0(r, r', t) * j_0(r', t) dV'$$

$$\begin{aligned} G_0(r, r', t) &= \int_{-\infty}^\infty \frac{1}{4\pi} \frac{e^{i\frac{c}{\epsilon} |r - r'|}}{|r - r'|} e^{-i\omega t} d\omega \\ &= \frac{1}{2} \frac{S[t - R/c]}{R} \quad R = |r - r'| \end{aligned}$$

$$\int_{-\infty}^\infty e^{ixy} dx = 2\pi \delta(y)$$

$$\text{L} \triangleright \text{Falls } t = \frac{R}{c} \quad G_0 = \frac{1}{2R}$$

$$\Rightarrow A(r, t) = \frac{\mu_0}{4\pi} \int_V \frac{j_0(r', t - R/c)}{R} dV' \quad \phi(r, t) = \frac{1}{4\pi \epsilon_0} \int_V \frac{p_0(r', t - R/c)}{R} dV'$$

$$\nabla^2 \rightarrow \nabla^2 - \frac{1}{c} \frac{\partial^2}{\partial t^2}$$

$$+ \rightarrow + - R/c$$

Lorentz'sches Spektrum

endliche Signale

$$\begin{aligned} p(t) &= p_0 \cos(\omega_0 t) e^{-\eta_0/2 \cdot t} \quad t > 0 \\ &= \frac{p_0}{2} \left[e^{(i\omega_0 - \eta_0/2)t} + e^{(i\omega_0 + \eta_0/2)t} \right] \end{aligned}$$

$$\text{Fernfeld: } \hat{E}_{\text{fg}}(\omega) = -\hat{p}(\omega) \frac{\sin \eta_0}{4\pi \epsilon_0} \frac{e^{i\omega r/c}}{r} \frac{\omega^2}{c^2}$$

$$\begin{aligned} \text{Fourier: } \hat{p}(\omega) &= \frac{1}{2\pi} \int_0^\infty p(t) e^{i\omega t} dt \\ &= \frac{p_0}{4\pi} \int_0^\infty \left[e^{(i\omega - \omega_0) t} + e^{(i\omega + \omega_0) t} \right] dt \\ &= -\frac{p_0}{4\pi} \left(\frac{1}{i(\omega - \omega_0) - \eta_0/2} + \frac{1}{i(\omega + \omega_0) - \eta_0/2} \right) \end{aligned}$$

$$\Rightarrow \hat{E}_{\text{eff}}(\omega) = \frac{1}{2\pi} \frac{|P| \sin \theta \omega_0^2}{8\pi \epsilon_0 c^2 \Gamma} \left[\frac{\exp(i\omega/c)}{i(\omega + \omega_0) - \eta_0/2} + \frac{\exp(i\omega/c)}{i(\omega - \omega_0) - \eta_0/2} \right]$$

Energie: $W = \int_{-\infty}^{\infty} \left[\int_{\partial V} S(r, t) \cdot n \, da \right] dt = \sqrt{\frac{\epsilon_0}{N_0}} \int_{-\infty}^{\infty} \int_{\partial V} |E_{\text{eff}}(r, t)|^2 da \, dt$

$E \times H$

$$= 2\pi \sqrt{\frac{\epsilon_0}{\mu_0}} \int_{-\infty}^{\infty} \int_{\partial V} |\hat{E}_{\text{eff}}(r, \omega)|^2 da \, d\omega$$

(Satz von Parseval)

Koordinatenwechsel
+ Symmetrie

$$= 4\pi \sqrt{\frac{\epsilon_0}{\mu_0}} \int_0^\pi \int_0^\pi \int_0^\pi |\hat{E}_{\text{eff}}(r, \omega)|^2 r^2 \sin \theta \, dr \, d\theta \, d\omega$$

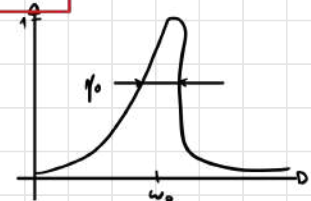
Energiespektrum: $\frac{dW}{d\Omega \, d\omega} = 4\pi \sqrt{\frac{\epsilon_0}{\mu_0}} |E_{\text{eff}}(r, \omega)|^2 r^2$

Welt für $\omega > \omega_0$

$$(d\Omega = \sin \theta \, d\theta \, d\phi) \quad = \frac{1}{4\pi \epsilon_0} \frac{P_0^2 \sin^2 \theta}{16\pi^2 c^2} \omega^4 \left| \frac{1}{i(\omega - \omega_0) - \eta_0/2} + \frac{1}{i(\omega + \omega_0) - \eta_0/2} \right|^2$$

$$\approx \frac{1}{4\pi \epsilon_0} \frac{P_0^2 \sin^2 \theta}{16\pi^2 c^2} \frac{\omega^4 + N_0^2/4}{(\omega - \omega_0)^2 + N_0^2/4}$$

für $N_0 = 0$ (monochromatisch) kriegt man eine delta Funktion



Ausdruck integrieren:

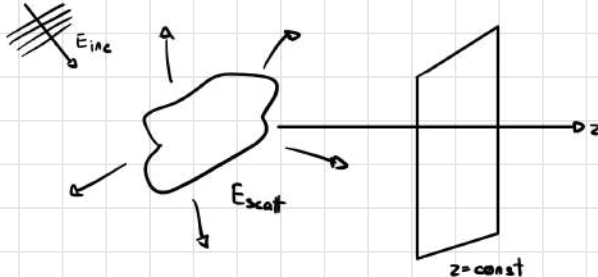
Gesamternergie

$$W = \frac{|P|^2}{4\pi \epsilon_0} \frac{\omega_0^4}{3c^3 \eta_0} = \bar{P}/\eta_0$$

Vorlesung 12

Feldvektorspektrum

$$E(r, t) = \operatorname{Re} \{ E(r) e^{i\omega t} \}$$

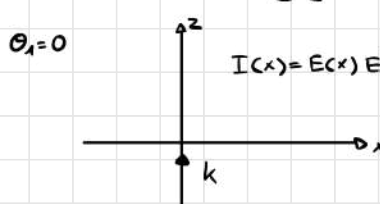


rekap

$$E(r) = E_0 \begin{bmatrix} \cos \phi \cos \Theta_0 \\ \sin \phi \\ -\cos \phi \sin \Theta_0 \end{bmatrix} e^{ik[x \sin \Theta_0 + z \cos \Theta_0]}$$

$\phi = \frac{\pi}{2}$ (z-polarisiert) $x = 0$

$$E(x, z=0) = E_0 \begin{bmatrix} 0 \\ 1 \\ 0 \end{bmatrix} e^{ikx \sin \theta_1} \quad E' = E_0 \begin{bmatrix} 0 \\ 0 \\ 1 \end{bmatrix} e^{ikx \sin(-\theta_1)}$$



1) — 2) W 3) $\text{W}_\text{W}_\text{W}$

(sehr viele)

(unendliche)

(wie eine Fourierreihe)

(wie eine Fouriertransformation)

$$\Rightarrow E(x, y, z) = \iint_{-\infty}^{\infty} \hat{E}(k_x, k_y; 0) e^{i(k_x x + k_y y \pm k_z z)} dk_x dk_y$$

$$(\nabla^2 + k^2) E(r) = 0$$

$$\hat{E}(k_x, k_y; z) = \frac{1}{4\pi^2} \iint_{-\infty}^{\infty} E(x, y, z) e^{-i(k_x x + k_y y)} dx dy$$

$$(\nabla^2 + k^2) \iint \dots = 0$$

$$\Rightarrow \underbrace{[-k_x^2 - k_y^2 + k^2]}_{\frac{\partial^2}{\partial t^2} E} = 0$$

$$\max[k_x] = k$$

Bam falls $-k_z z$

\rightarrow Evanescenten Wellen

\Rightarrow Superposition von
ebenen und evanescenten
Wellen

$$e^{\pm ik_z z}$$

$$\hat{E} = \hat{E}(z=0) e^{\pm ik_z z}$$

$$E_1 \xrightarrow{\text{FT}} \hat{E}_1 \times \hat{H} = \hat{E}_2 \xrightarrow{\text{IFT}} E_2$$

$e^{ik_z(z_2 - z_1)}$
Übertragungs-
funktion

sehr hohe Frequenz $\sqrt{k_x^2 + k_y^2} > k$

\rightarrow kommt nichts mehr an

\rightarrow Tiefpass

$$\text{Auflösungsgrenze } \Delta x \approx \frac{1}{2k} = \frac{\lambda}{4\pi n}$$

da $\Delta x \propto \frac{1}{2k}$

Größerer Winkel
höhere Frequenz

$$\begin{aligned} E_0^2 (e^{ikx \sin \theta_1} + e^{ikx \sin(-\theta_1)})^2 \\ = E_0^2 (e^{2ikx \sin \theta_1} + 2 + e^{-2ikx \sin \theta_1}) \\ = 2E_0^2 (1 + \cos(2k \sin \theta_1 x)) \end{aligned}$$

Paraxiale Approximation

$$k_z = k \sqrt{1 - (k_x^2 + k_y^2)/k^2} \approx k - \frac{k_x^2 + k_y^2}{2k}$$

$$= k \cos \theta = k [1 - \theta^2/2 + \dots]$$

$$E(x', y', 0) = E_0 e^{-\frac{x'^2 + y'^2}{\omega_0^2}} \quad (\text{Gauss})$$

$$\hat{E}(k_x, k_y, 0) = E_0 \frac{\omega_0^2}{4\pi} e^{-(k_x^2 + k_y^2) \frac{\omega_0^2}{4}}$$

$$\Rightarrow E(x, y, z) = E_0 \frac{\omega_0^2}{4\pi} e^{ikz} \iiint_{-\infty}^{\infty} e^{-(k_x^2 + k_y^2)(\frac{\omega_0^2}{4} + \frac{z^2}{z_0^2})} e^{i(k_x x + k_y y)} dk_x dk_y$$

$$E(p, z) = E_0 \frac{\omega_0}{\omega(z)} e^{-\frac{p^2}{\omega^2(z)}} e^{i[kz - \eta(z) + kp^2/2 R(z)]}$$

$$\omega(z) = \omega_0 (1 + \frac{z^2}{z_0^2})^{1/2}$$

$$R(z) = z(1 + z_0^2/z^2)$$

$$\eta(z) = \arctan(\frac{z}{z_0})$$

Ebene Wellenfronten (z klein)

Strahl Taille

Wellenfront radius

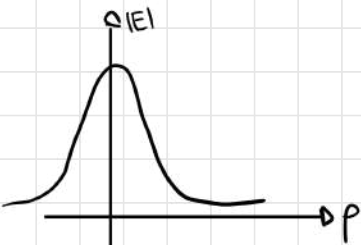
Phasen Korrektur

dominiert für grosse z
→ sphärische Phasenfronten

$$z_0 = \frac{k c \omega_0^2}{2}$$

$$\int_{-\infty}^{\infty} \exp(-ax^2 + bx) dx = \sqrt{\frac{\pi}{a}} \exp(-b^2/4a)$$

$$\Theta = \frac{2}{k \omega_0}$$



$$\omega_0^2 \sim z_0$$

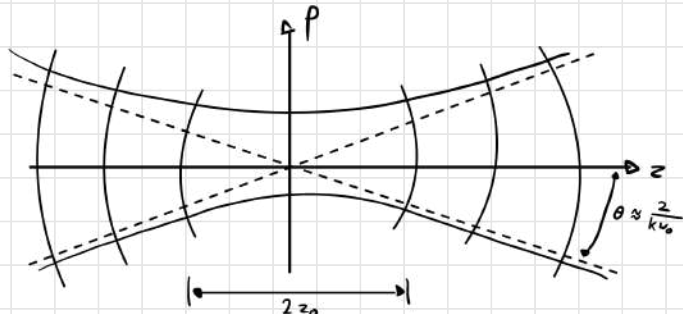
→ mehr fokus fährt z_0
schnellerer Divergenz

→ Analytisch, erfüllt nicht Maxwell
(Gauss und para. Approximation)

Fernfelder

$$r_2 - r_1 \rightarrow \infty$$

→ Ein Strahl bleibt koliniert für
ein Weg $\approx z_0$ und fängt an zu
divergieren danach (sphärisch)



$$E_0(x, y, z) = \lim_{kr \rightarrow \infty} \iint_{(k_x, k_y) \ll kr} \hat{E}(k_x, k_y, 0) e^{i(\frac{k_x s_x + k_y s_y + k_z s_z}{k})} dk_x dk_y \quad S = (s_x, s_y, s_z) = (\frac{x}{r}, \frac{y}{r}, \frac{z}{r})$$

Methode der stationären Phase : $E_\infty(x, y, z) = -2\pi i k s_z \hat{E}(ks_x, ks_y, 0) \frac{e^{ikr}}{r}$

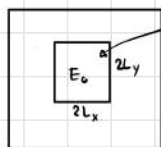
|

$$\lim_{\beta \rightarrow 0} \int g(t) e^{i \beta f(t)} dt \xrightarrow{f(t_0) + f'(t_0)(t-t_0) + \dots} f(t_0) + f'(t_0)(t-t_0) + \dots$$

↳ einziger Beitrag kommt von den stationären Punkten $f'(t_s) = 0$

$$= g(t_s) \sqrt{\frac{2\pi}{\beta f''(t_s)}} e^{i \beta f(t_s) + i \pi/4}$$

Beispiel



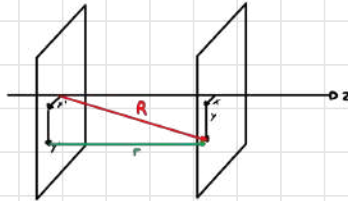
Annahme Welle eben

$$\begin{aligned}\hat{E}(k_x, k_y; 0) &= \frac{1}{4\pi^2} \iint_{-\infty}^{\infty} E(x, y, 0) e^{i(k_x x + k_y y)} dx dy \\ &= \frac{E_0}{4\pi^2} \int_{-L_y}^{+L_y} \int_{-L_x}^{L_x} e^{-i[k_x x' + k_y y']} dx' dy' \\ &= E_0 \frac{L_x L_y}{\pi^2} \frac{\sin(k_x L_x)}{k_x L_x} \frac{\sin(k_y L_y)}{k_y L_y}\end{aligned}$$

$$\begin{aligned}E_\theta(s_x, s_y) &= -2\pi i k s_z \hat{E} \frac{e^{ikr}}{r} \\ &= i k s_z E_0 \frac{2L_x L_y}{\pi^2} \frac{\sin(k s_x L_x)}{k s_x L_x} \frac{\sin(k s_y L_y)}{k s_y L_y} \frac{e^{ikr}}{r} \\ &= \frac{1}{\sqrt{1 - (s_x^2 + s_y^2)}}\end{aligned}$$

Vorlesung 13

Fraunhofer Zone



$$\begin{aligned}E(x, y) &= \int_{z=0}^{\infty} A(y, y') \frac{\exp(-ikr(x, y'))}{r(x, y')} dr' dy' \\ r^2 &= (x-x')^2 + (y-y')^2 + z^2 = R^2 \left(1 - \frac{2(x x' + y y')}{R^2} + \frac{x'^2 + y'^2}{R^2}\right) \\ r(x, y') &= R - \underbrace{\left[\frac{x' x}{R} + \frac{y' y}{R}\right]}_{\text{Fresnel}} + \underbrace{\frac{x'^2 + y'^2}{2R} + \dots}_{\text{Fraunhofer}}\end{aligned}$$

Maximale Feldausdehnung in Quellebene: $D = 2 \max \left\{ \sqrt{x'^2 + y'^2} \right\}$ $\rightarrow k \frac{x'^2 + y'^2}{2R} < 1$

$$\rightarrow A > \frac{1}{8} k D^2$$

Bsp: $\lambda = 532 \text{ nm}$ $\rightarrow A > 13 \text{ m}$

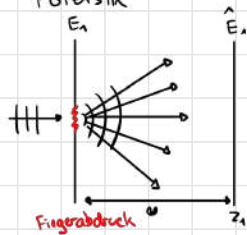
Fourier Optik

$$E(x, y, z) = \iint_{-\infty}^{\infty} \hat{E}(k_x, k_y; 0) e^{i(k_x x + k_y y \pm k_z z)} dk_x dk_y$$

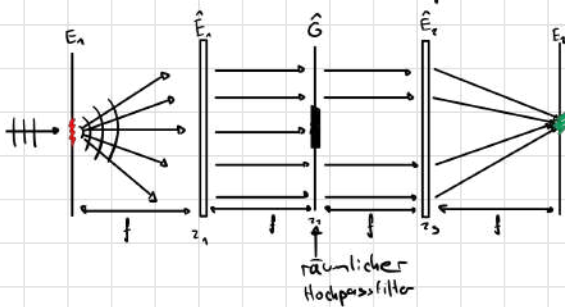
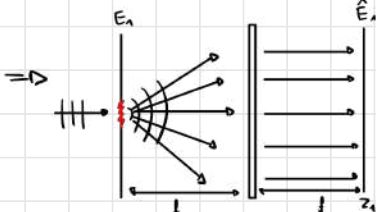
$$= \frac{i e^{-ikr}}{2\pi k_z} E_\infty(k_x, k_y) \quad \begin{matrix} k_x \rightarrow k s_x \\ k_y \rightarrow k s_y \end{matrix}$$

$$k_z = \sqrt{k^2 - (k_x^2 + k_y^2)}$$

Forensik



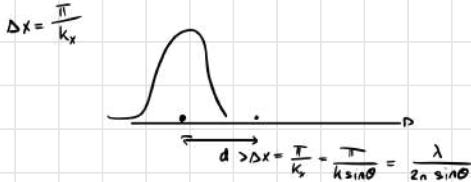
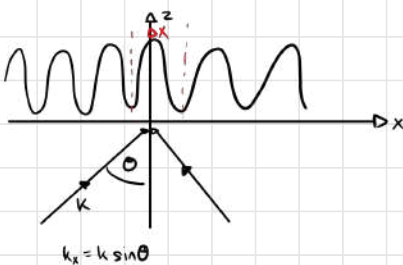
für $k_z \approx k$ Fourier Optik



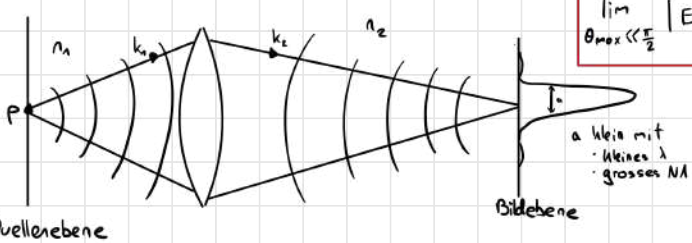
$$\hat{E}(k_x, k_y, z_2 - z_1)$$

$$e^{ik(z_2 - z_1)} \hat{G}(k_x, k_y) e^{ik(z_2 - z_1)}$$

Auflösungsgrenze



Point-Spread Function:



$$\lim_{\theta_{\max} \ll \frac{\pi}{2}} |E(p, z=0)|^2 = \frac{\pi^4}{\epsilon_0^2 n_1 n_2} \frac{p^2}{\lambda^6} \frac{NA^4}{M^2} \left[2 \frac{J_1(\pi p \tilde{f})}{2\pi \tilde{f}} \right]^2$$

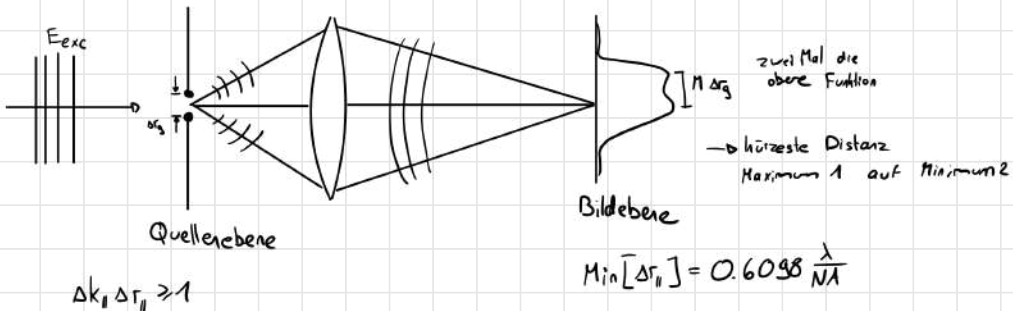
$$NA = n \sin \theta_{\max}$$

$$\tilde{f} = \frac{NA}{M} \frac{p}{\lambda}$$

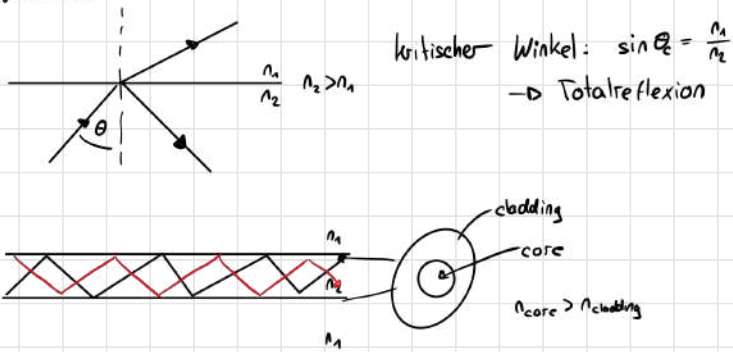
a klein mit
- kleiner λ
- grosses NA

Quellenebene

Auflösungsgrenze

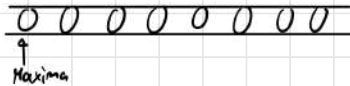


Wellenleiter



Wellenleiter

→ durch Superposition von zwei Ebenewellen (hoch und runter)



Experiments

